9 信号处理与信号产生电路

- 9.1 滤波电路的基本概念与分类
- 9.2 一阶有源滤波电路
- 9.3 高阶有源滤波电路
- *9.4 开关电容滤波器
- 9.5 正弦波振荡电路的振荡条件
- 9.6 RC正弦波振荡电路
- 9.7 LC正弦波振荡电路
- 9.8 非正弦信号产生电路

川比医学院生物医学工程

9.1 滤波电路的基本概念与分类

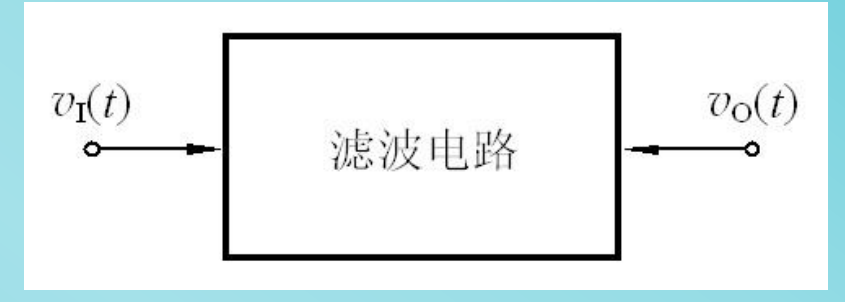
1. 基本概念

滤波器: 是一种能使有用频率信号通过而同时抑制或衰减无用频率信号的电子装置。

有源滤波器:由有源器件构成的滤波器。

滤波电路传递函数定义

$$A(s) = \frac{V_{_{0}}(s)}{V_{_{i}}(s)}$$



$$s = j\omega$$
 时,有 $A(j\omega) = |A(j\omega)| \cdot e^{j\varphi(\omega)} = |A(j\omega)| \angle \varphi(\omega)$

其中
$$|A(j\omega)|$$
 — 模,幅频响应

$$\varphi(\omega)$$
 ——相位角,相频响应

$$\tau(\omega) = -\frac{\mathrm{d}\varphi(\omega)}{\mathrm{d}\omega} \quad (s) \quad$$
群时延响应

川比医学院生物医学工程

9.1 滤波电路的基本概念与分类

2. 分类

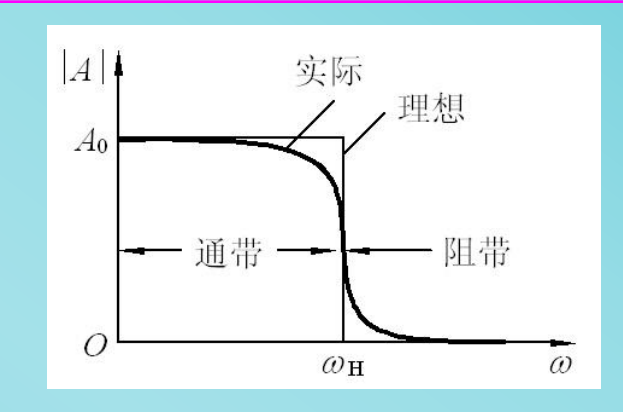
低通 (LPF)

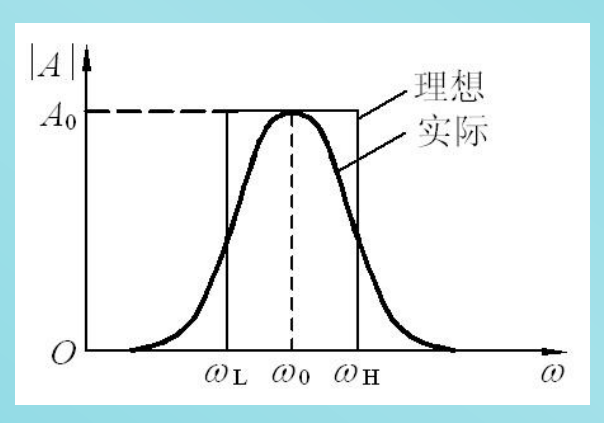
高通 (HPF)

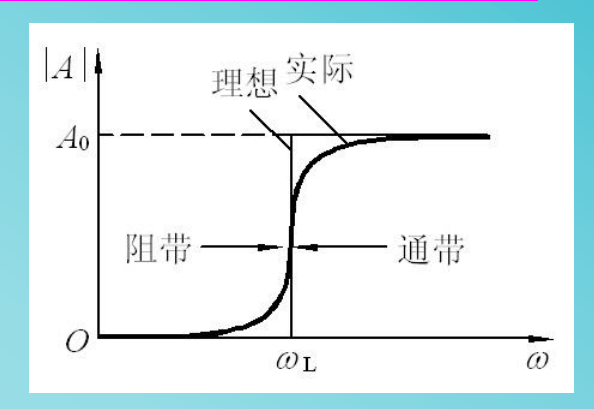
带通 (BPF)

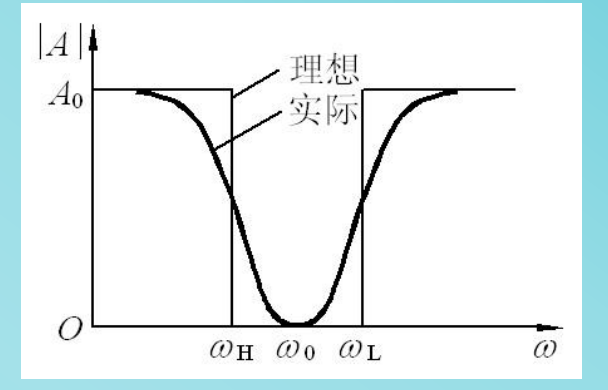
带阻 (BEF)

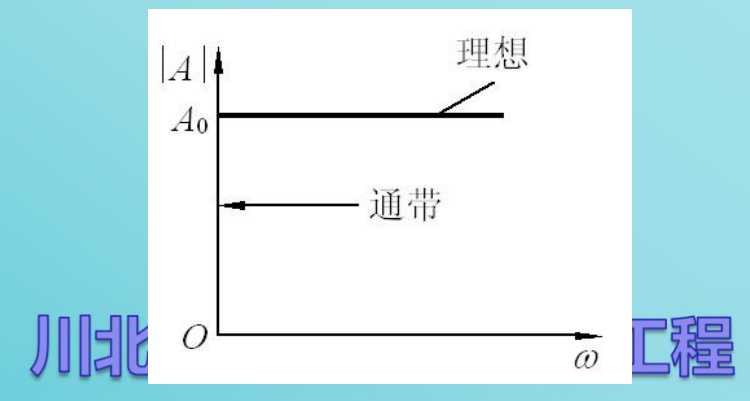
全通 (APF)











end

9.2 一阶有源滤波电路

1. 低通滤波电路

传递函数
$$A(s) = \frac{A_0}{1 + \frac{s}{\omega_c}}$$

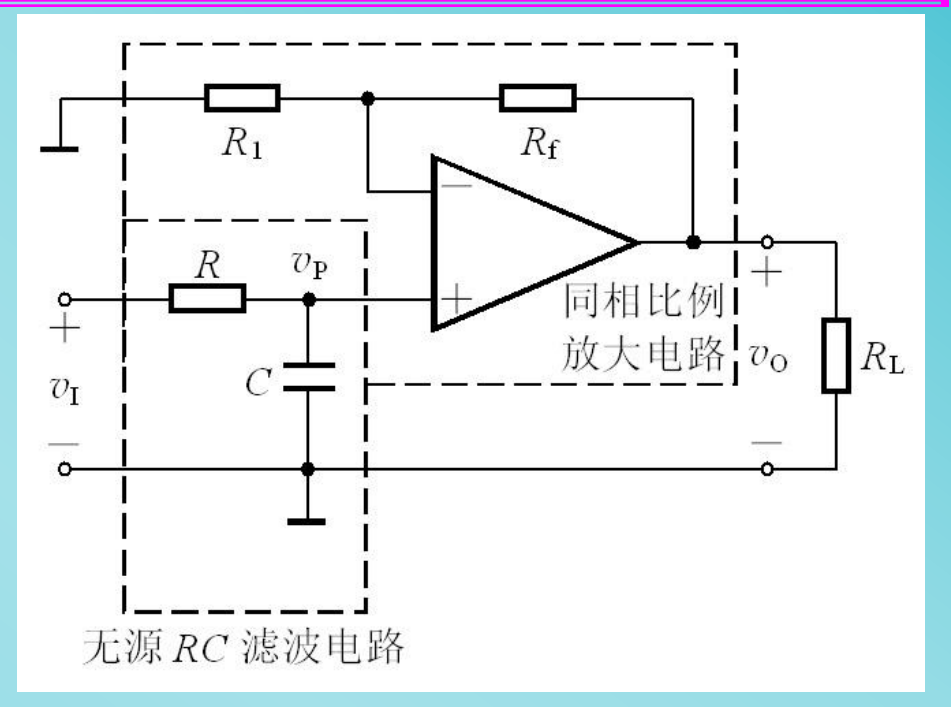
其中

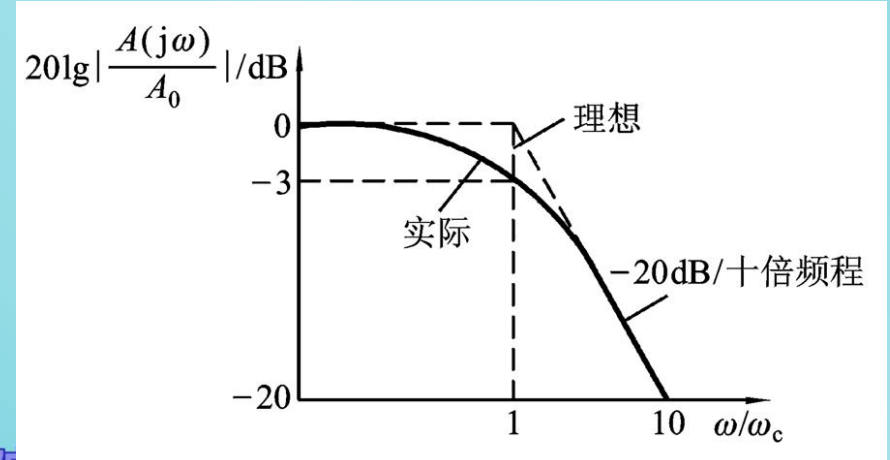
$$A_0 = 1 + \frac{R_f}{R_1}$$
 同相比例 放大系数

$$\omega_{\rm c} = \frac{1}{RC}$$
 特征角频率

故, 幅频相应为

$$|A(j\omega)| = \frac{A_0}{\sqrt{1 + (\frac{\omega}{\omega_c})^2}}$$



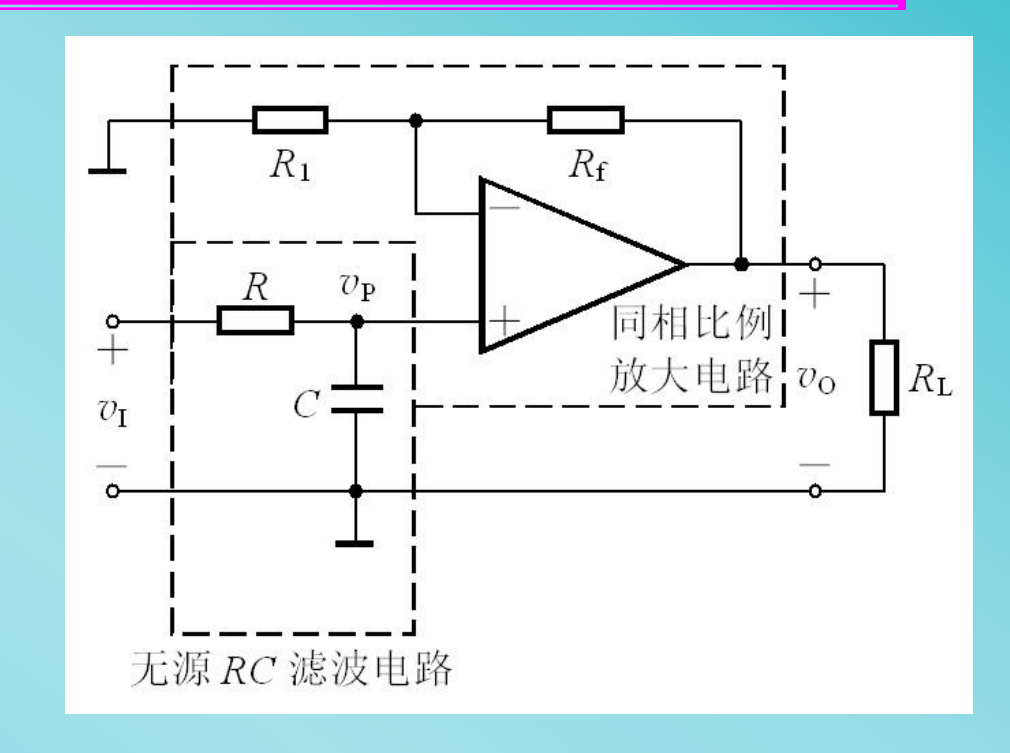


9.2 一阶有源滤波电路

2. 高通滤波电路

低通电路中的R和C交换 位置便构成高通滤波电路

一阶有源滤波电路通带外衰减速率慢(-20dB/十倍频程),与理想情况相差较远。一般用在对滤波要求不高的场合。



9.3 高阶有源滤波电路

- 9.3.1 有源低通滤波电路
- 9.3.2 有源高通滤波电路
- 9.3.3 有源带通滤波电路
- 9.3.4 二阶有源带阻滤波电路

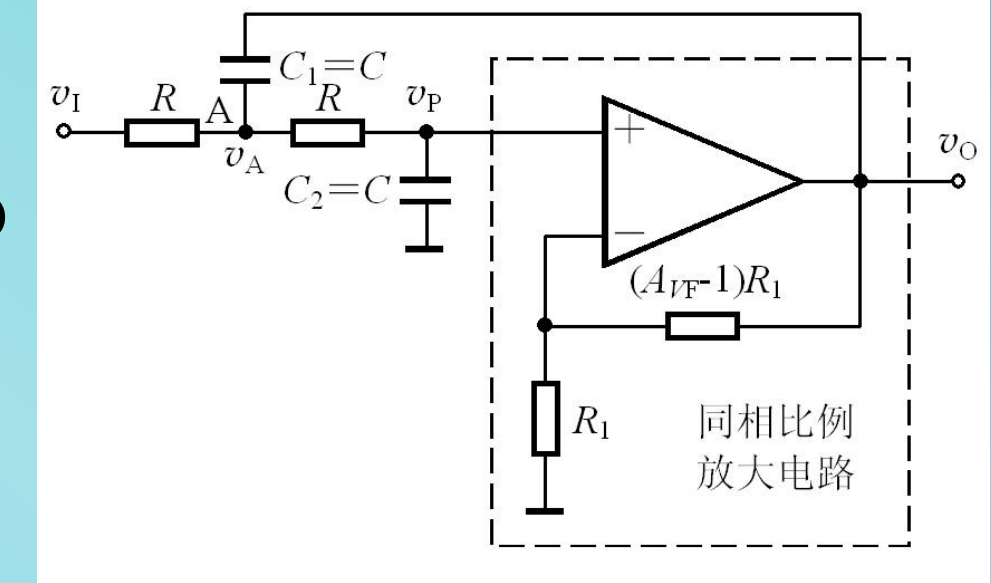
9.3.1 有源低通滤波电路

- 1. 二阶有源低通滤波电路
- 2. 传递函数

$$A_{VF} = 1 + \frac{R_{\rm f}}{R_{\rm 1}} \quad (同相比例)$$

对于滤波电路,有

$$\begin{cases} A_{VF} = \frac{V_0(s)}{V_P(s)} \\ V_P(s) = \frac{1/sC}{R+1/sC} \cdot V_A(s) \end{cases}$$



$$\frac{V_{i}(s) - V_{A}(s)}{R} - \frac{V_{A}(s) - V_{o}(s)}{1/sC} - \frac{V_{A}(s) - V_{P}(s)}{R} = 0$$

得滤波电路传递函数
$$A(s) = \frac{V_o(s)}{V_i(s)} = \frac{A_{VF}}{1 + (3 - A_{VF})sCR + (sCR)^2}$$

川北医学院生物医学气候)

2. 传递函数

$$A(s) = \frac{V_o(s)}{V_i(s)} = \frac{A_{VF}}{1 + (3 - A_{VF})sCR + (sCR)^2}$$

令
$$A_0 = A_{VF}$$
 称为通带增益

$$Q = \frac{1}{3 - A_{UE}}$$
 称为等效品质因数

$$\omega_{\rm c} = \frac{1}{RC}$$
 称为特征角频率

$$\mathcal{J} = \frac{A_0 \omega_c^2}{s^2 + \frac{\omega_n}{Q} s + \omega_c^2}$$

注意: $3 - A_{VF} > 0$, 即 $A_{VF} < 3$ 时, 滤波电路才能稳定工作。

川北医学院生物医学工程

2. 传递函数

用 $s = j\omega$ 代入,可得传递函数的频率响应: 归一化的幅频响应

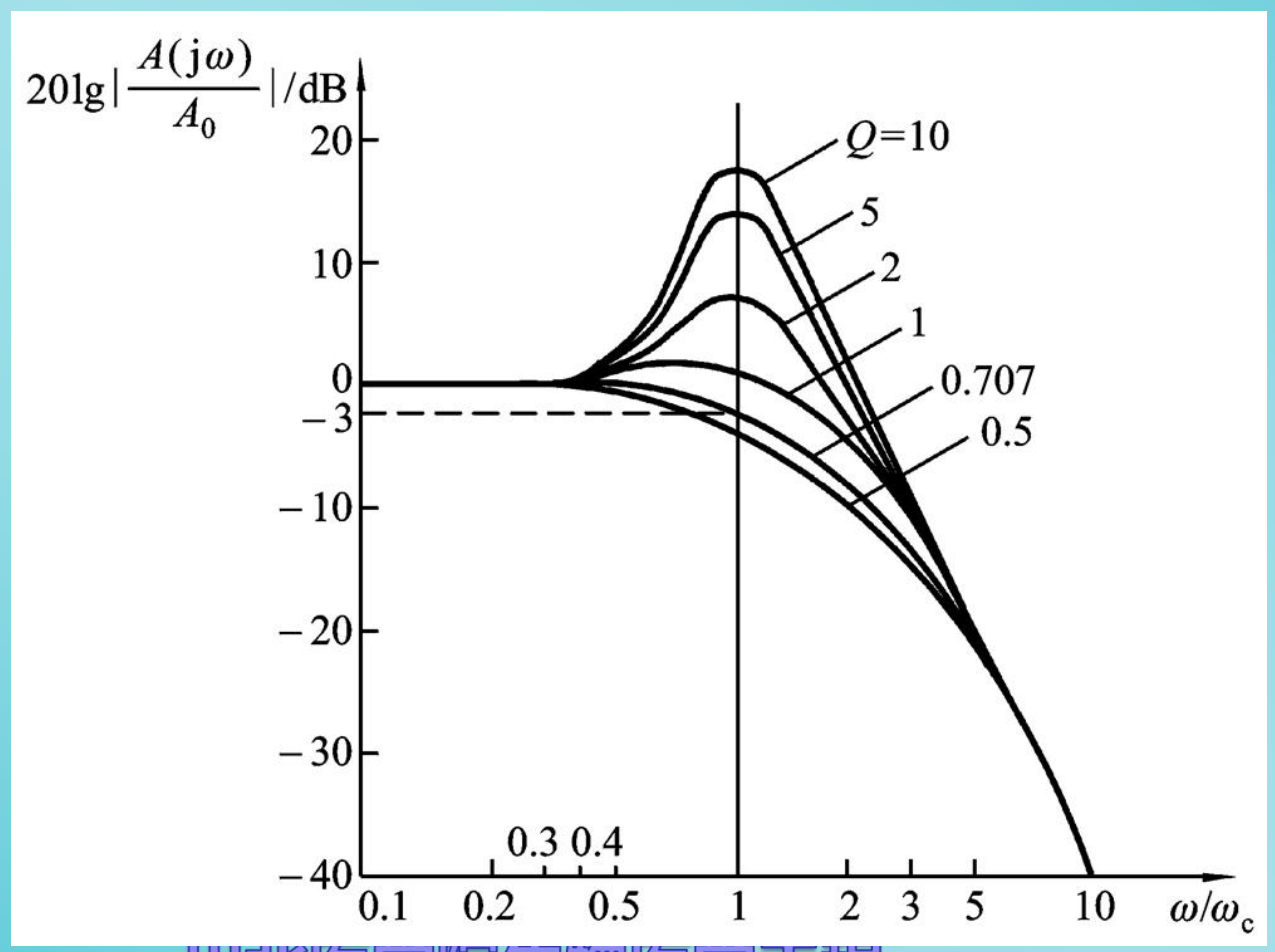
$$20 \lg \left| \frac{A(j\omega)}{A_0} \right| = 20 \lg \frac{1}{\sqrt{\left[1 - \left(\frac{\omega}{\omega_c}\right)^2\right]^2 + \left(\frac{\omega}{\omega_c Q}\right)^2}}$$

相频响应
$$\varphi(\omega) = -\arctan \frac{\frac{\omega}{\omega_c Q}}{1 - (\frac{\omega}{\omega_c})^2}$$

3. 幅频响应

$$20 \lg \left| \frac{A(j\omega)}{A_0} \right| = 20 \lg \frac{1}{\sqrt{\left[1 - \left(\frac{\omega}{\omega_c}\right)^2\right]^2 + \left(\frac{\omega}{\omega_c Q}\right)^2}}$$

归一化的幅 频响应曲线

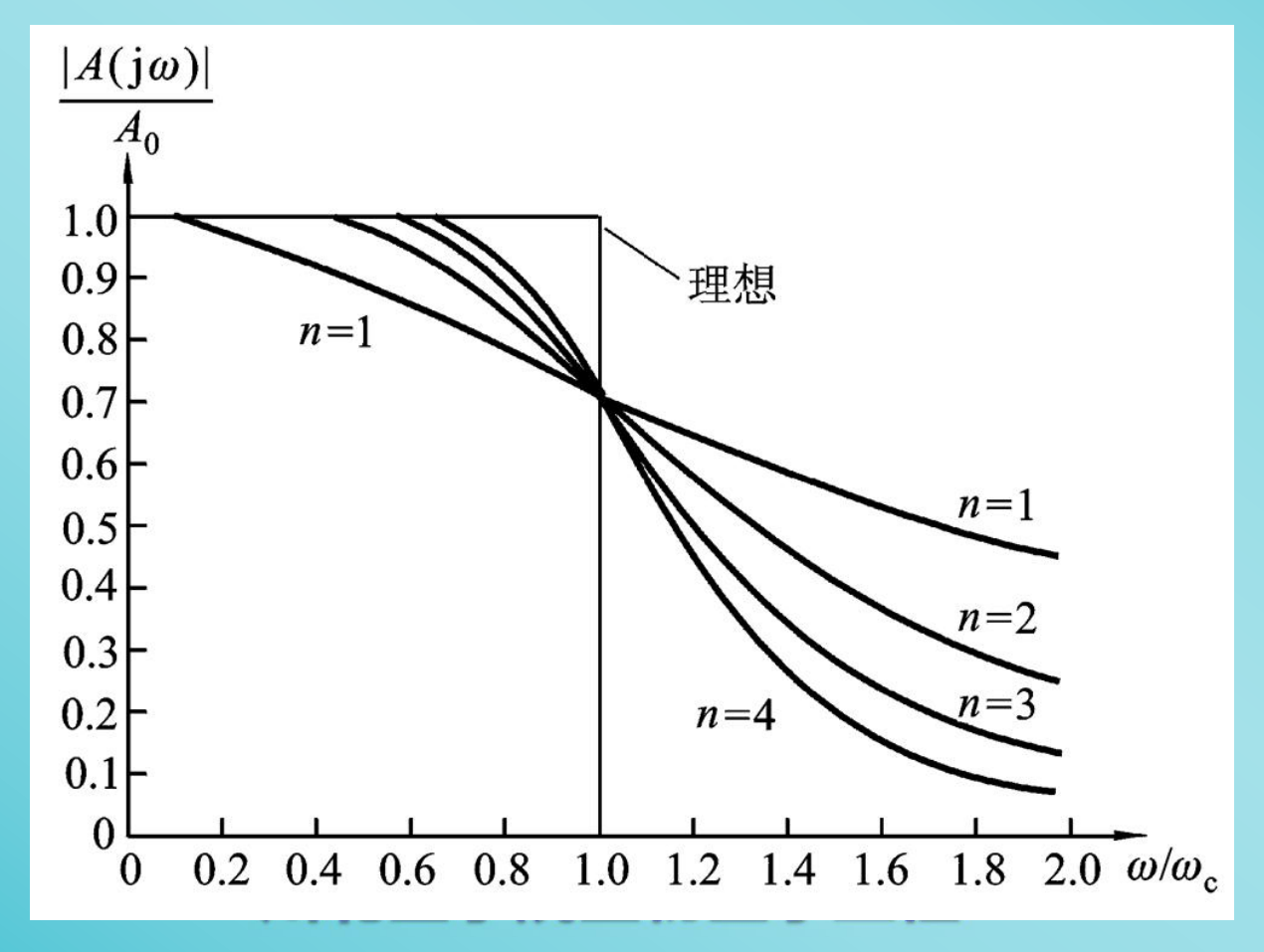


4. n阶巴特沃斯传递函数

传递函数为
$$|A(\mathbf{j}\omega)| = \frac{A_0}{\sqrt{1 + (\omega/\omega_c)^{2n}}}$$

式中n为阶滤波电路阶数, ω_c 为3dB截止角频率, A_0 为通带电

压增益。



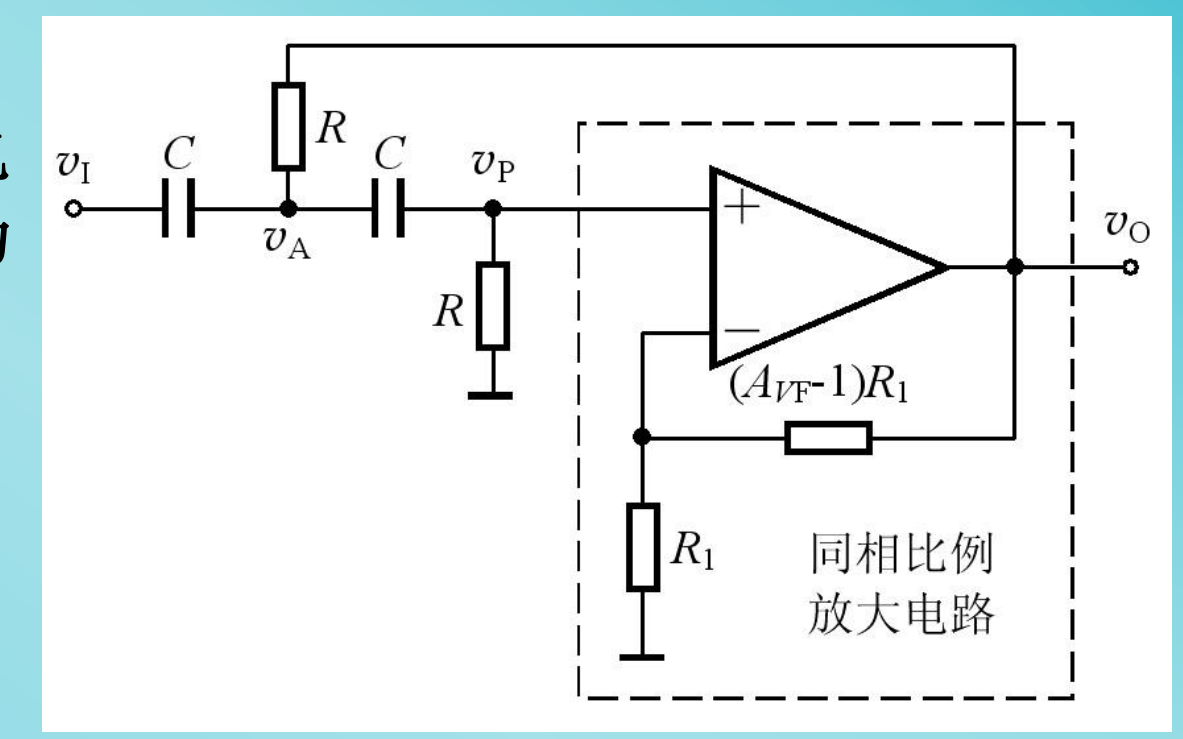
9.3.2 有源高通滤波电路

1. 二阶高通滤波电路

将低通电路中的电 容和电阻对换,便成为 高通电路。

传递函数

$$A(s) = \frac{A_0 s^2}{s^2 + \frac{\omega_c}{Q} s + \omega_c^2}$$



归一化的幅频响应

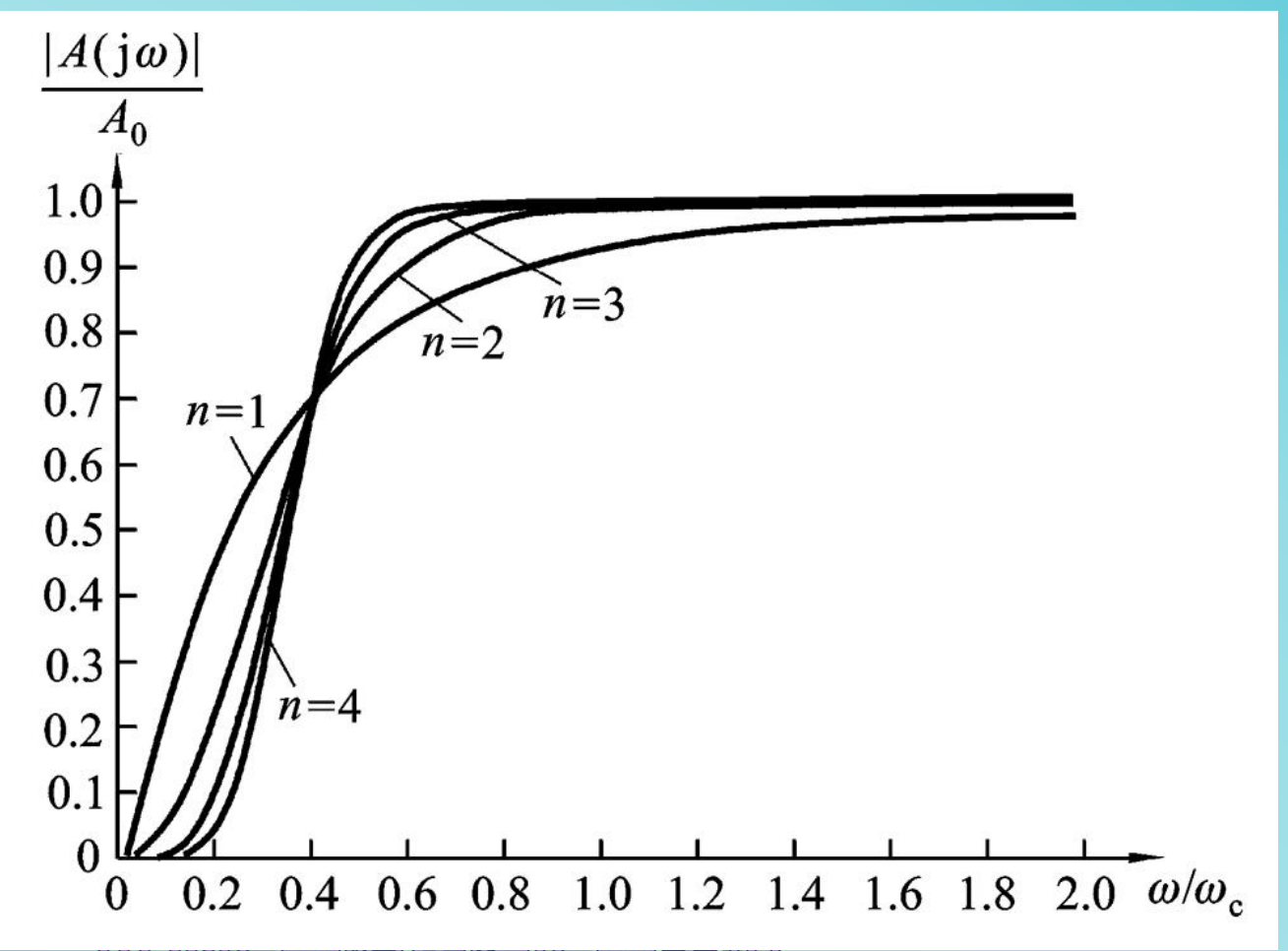
$$20 \lg \left| \frac{A(j\omega)}{A_0} \right| = 20 \lg \frac{1}{\sqrt{\left[\left(\frac{\omega_c}{\omega} \right)^2 - 1 \right]^2 + \left(\frac{\omega_c}{\omega Q} \right)^2}}$$

川比医学院生物医学工程

2. 巴特沃斯传递函数及其归一化幅频响应

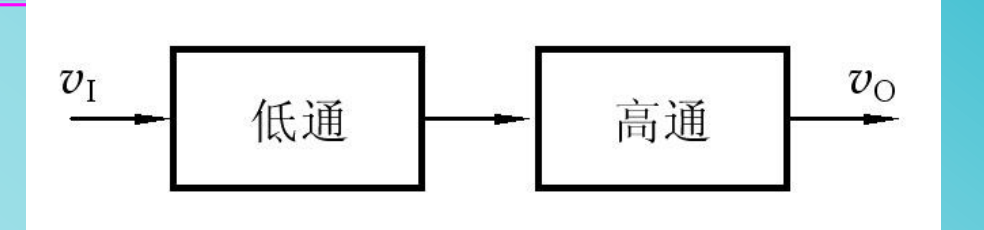
$$|A(j\omega)| = \frac{A_0}{\sqrt{1 + (\omega_c/\omega)^{2n}}}$$

归一化幅频响应



9.3.3 有源带通滤波电路

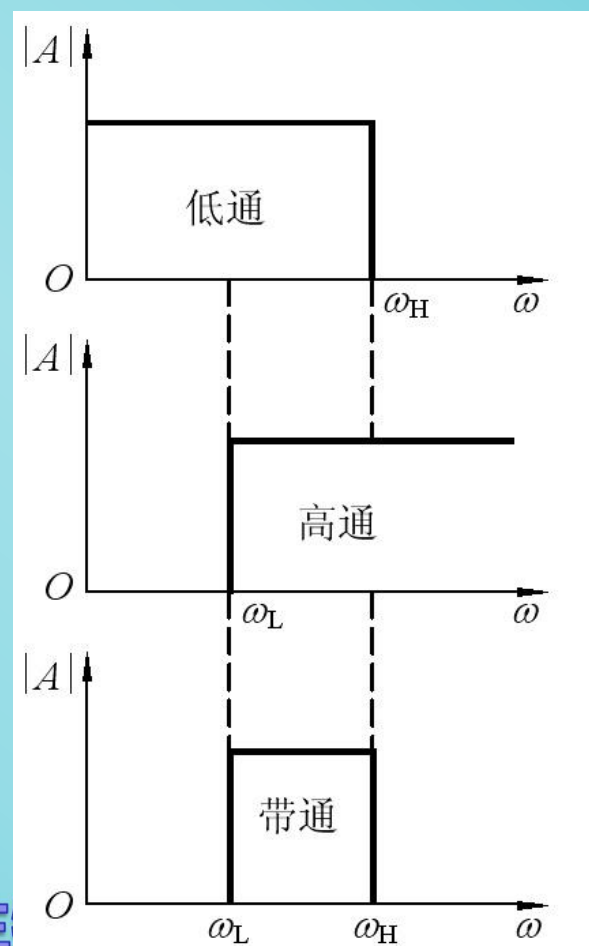
1. 电路组成原理 可由低通和高通串联得到



$$\omega_{\rm H} = \frac{1}{R_1 C_1}$$
 低通截止角频率

$$\omega_{\rm L} = \frac{1}{R_2 C_2}$$
 高通截止角频率

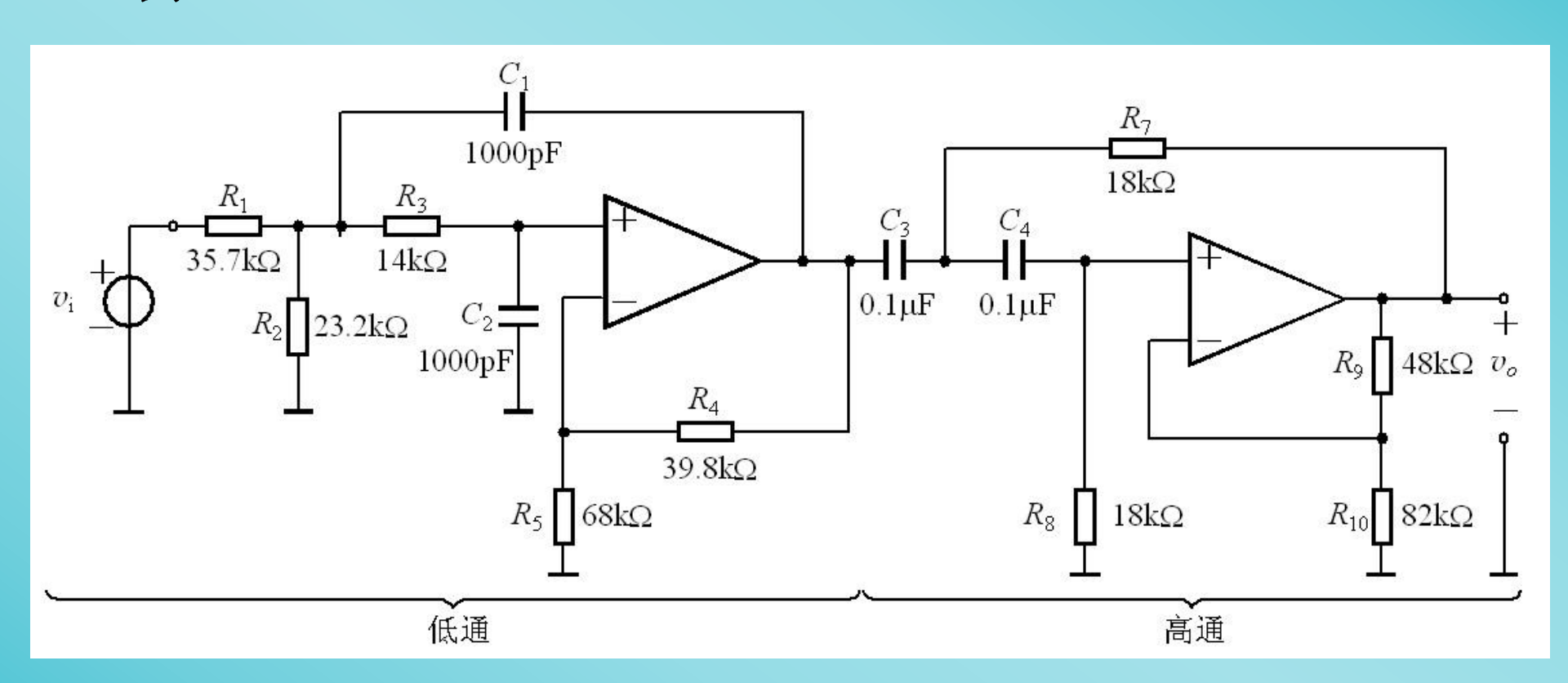
必须满足 $\omega_{\rm L} < \omega_{\rm H}$



川北医学院生

9.3.3 有源带通滤波电路

2. 例9.3.2

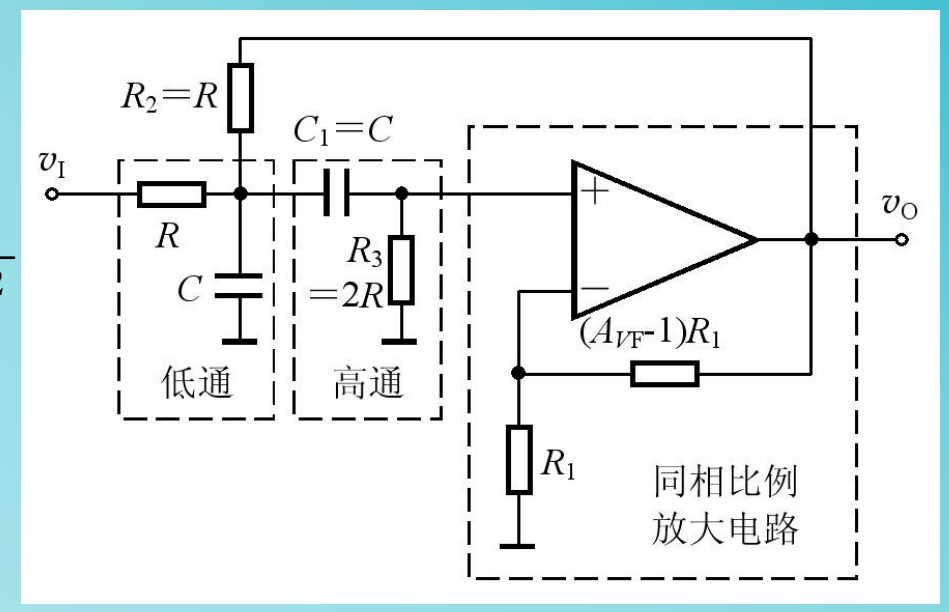


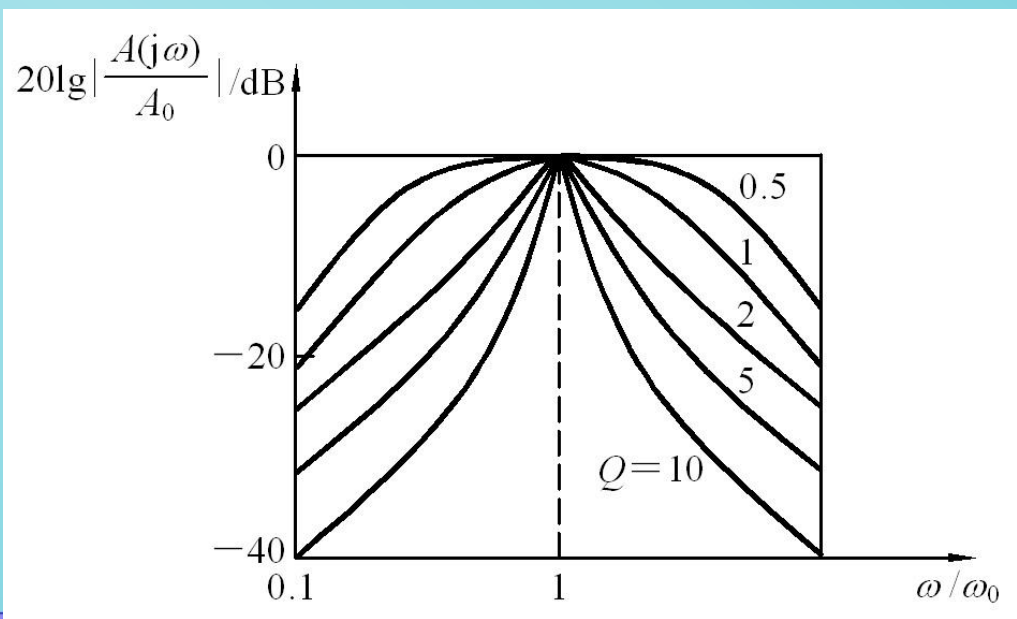
3. 二阶有源带通滤波电路

传递函数

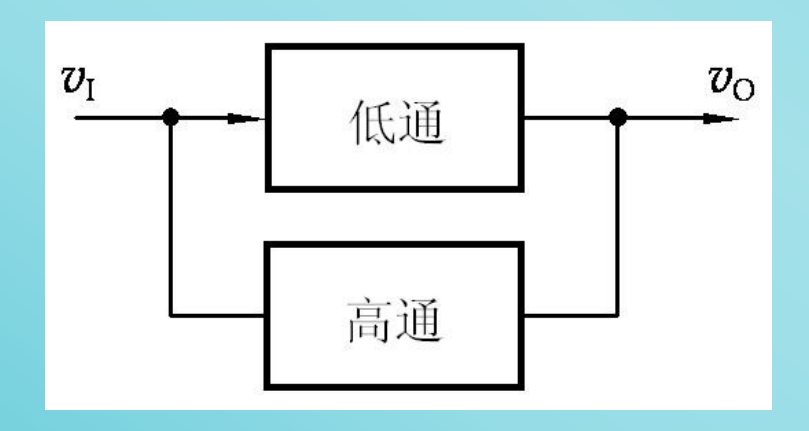
$$A(s) = \frac{A_{VF} sCR}{1 + (3 - A_{VF}) sCR + (sCR)^{2}}$$

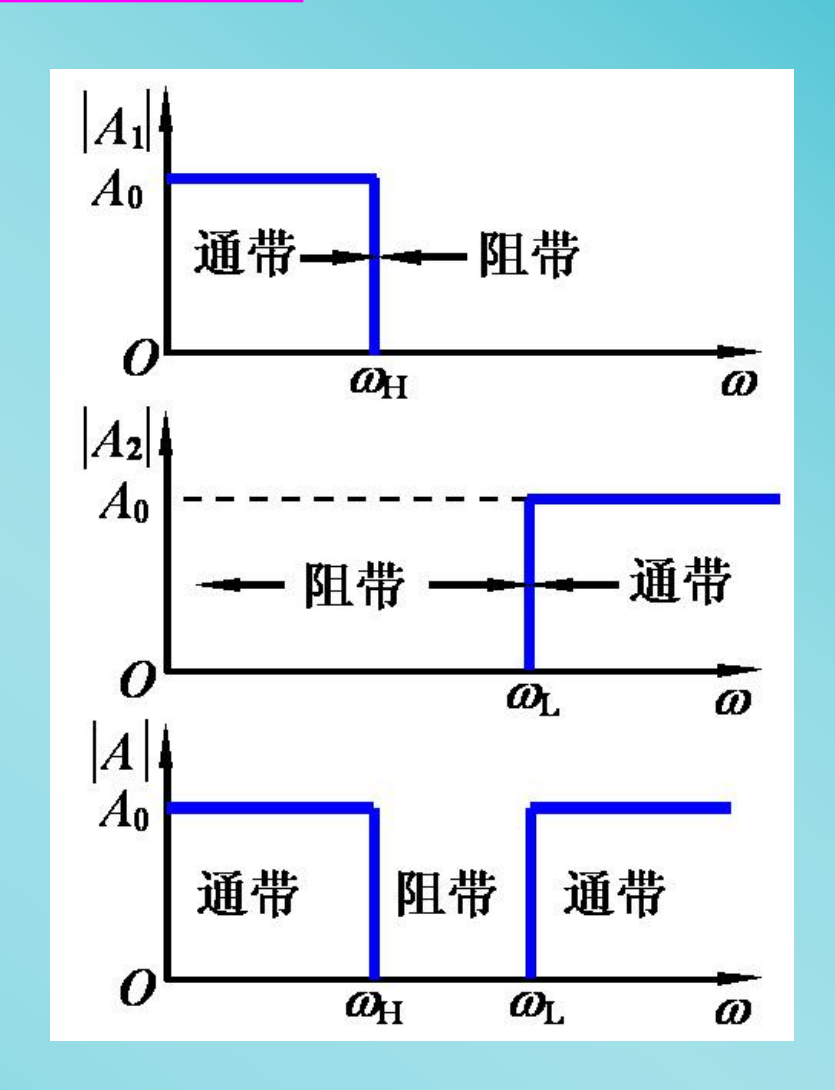
得
$$A(s) = \frac{A_0 \overline{Q\omega_0}}{1 + \frac{s}{Q\omega_0} + (\frac{s}{\omega_0})^2}$$



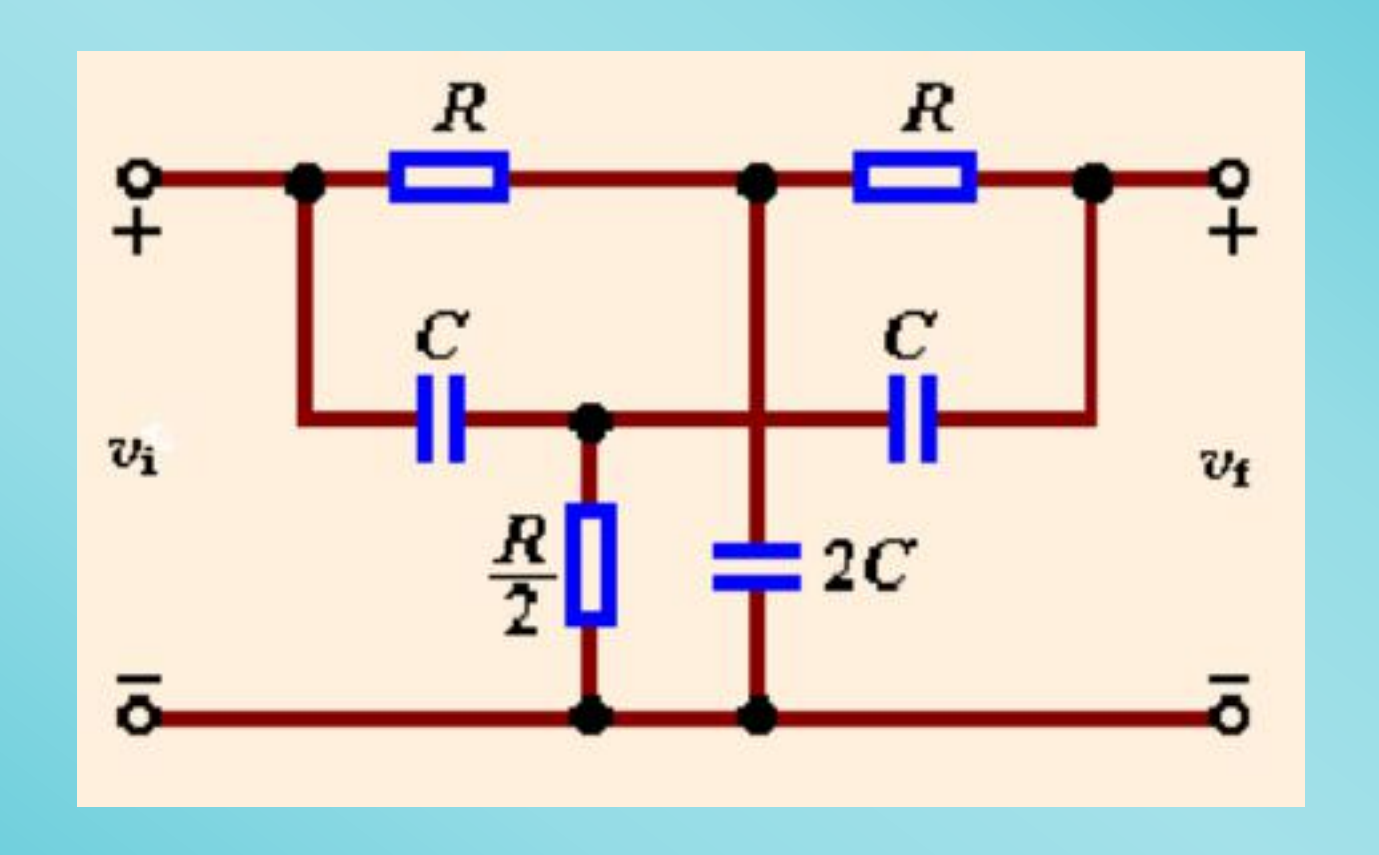


可由低通和高通并联得到 必须满足 $\omega_{\rm L} > \omega_{\rm H}$

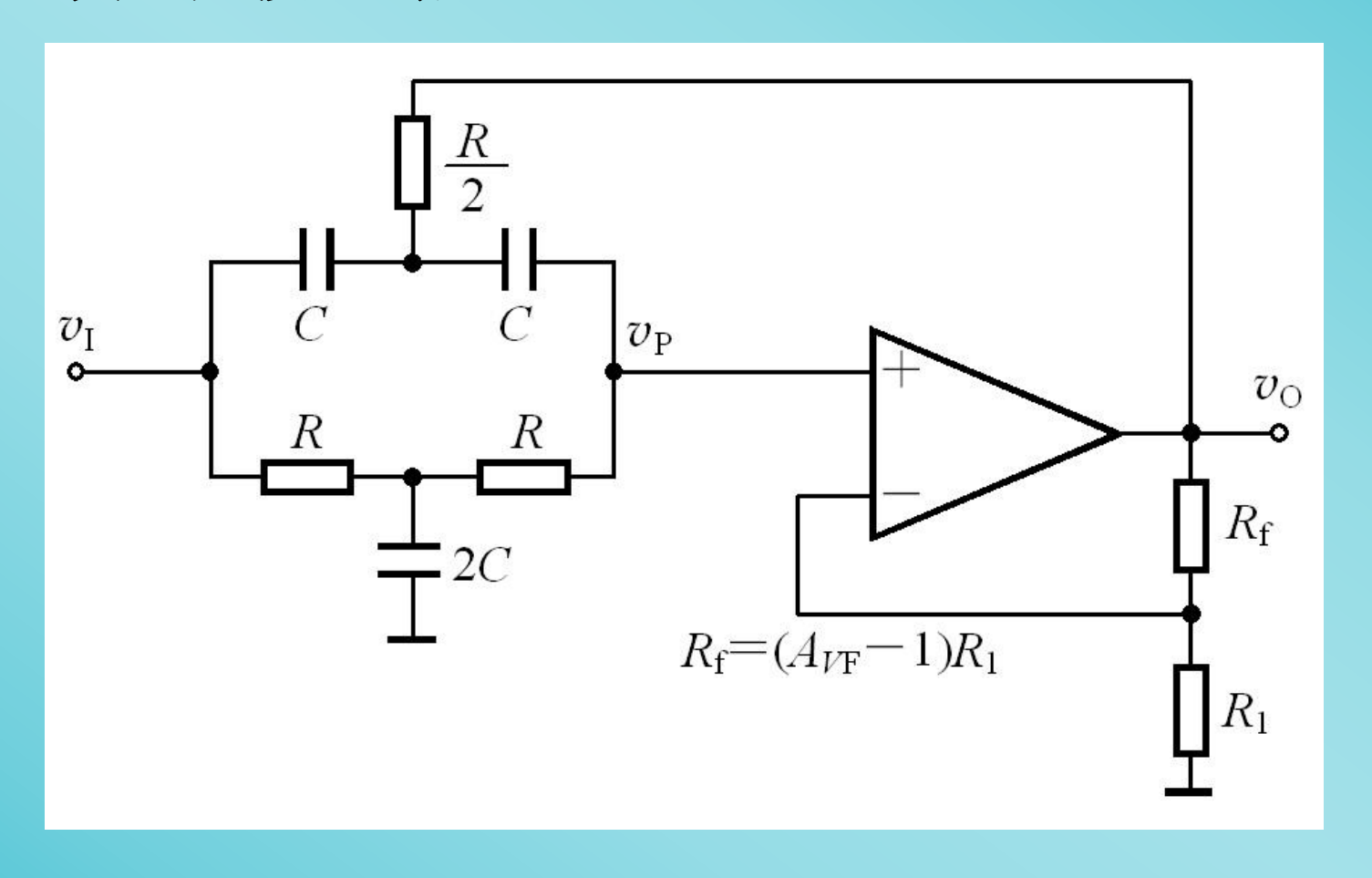




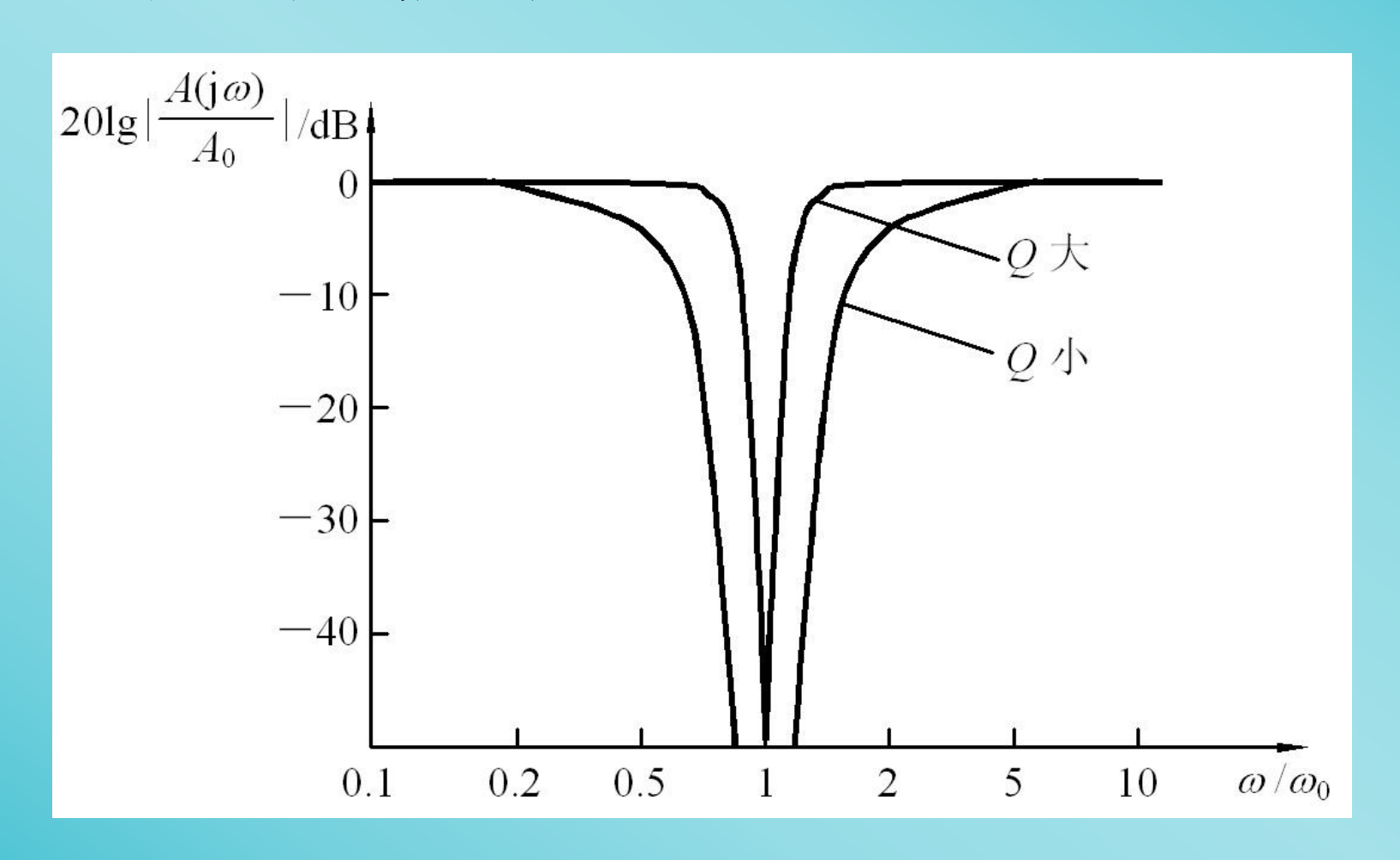
双T选频网络



双T带阻滤波电路



阻滤波电路的幅频特性



川北医学院生物医学工程

*9.4 开关电容滤波器

不作要求

9.5 正弦波振荡电路的振荡条件

1. 振荡条件

正反馈放大电路框图

(注意与负反馈方框图的差别)

$$\dot{X}_{\rm a} = \dot{X}_{\rm i} + \dot{X}_{\rm f}$$

若环路增益 $\dot{A}\dot{F}=1$ 则 $\dot{X}_{a}=\dot{X}_{f}$,

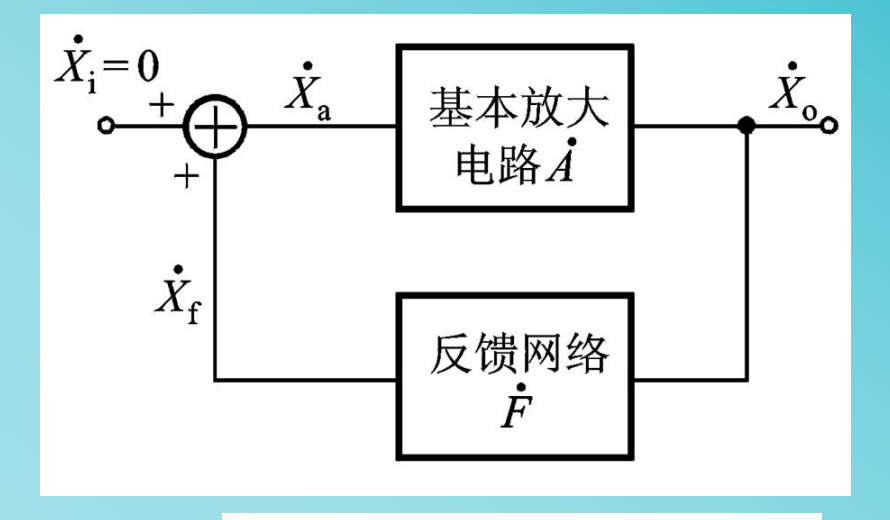
去掉水,水。仍有稳定的输出。

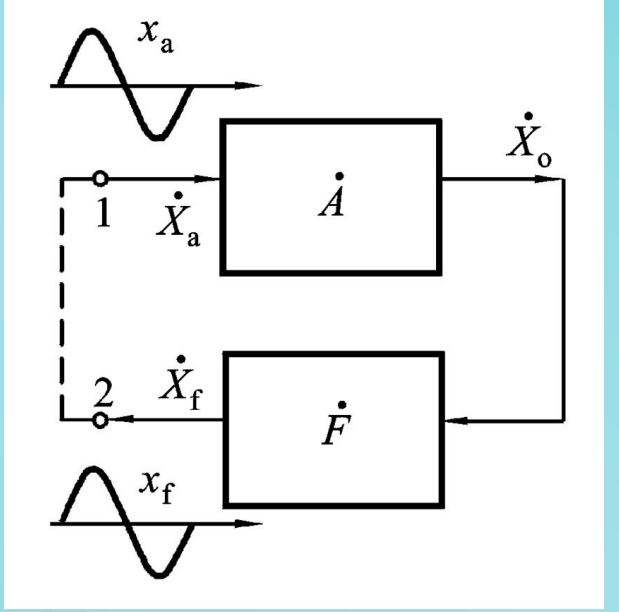
又
$$\dot{A}\dot{F} = |\dot{A}\dot{F}| \angle \varphi_a + \varphi_f = AF \angle \varphi_a + \varphi_f$$

所以振荡条件为

 $A(\omega) \cdot F(\omega) = 1$ 振幅平衡条件

 $\varphi_{a}(\omega) + \varphi_{f}(\omega) = 2n\pi$ 相位平衡条件



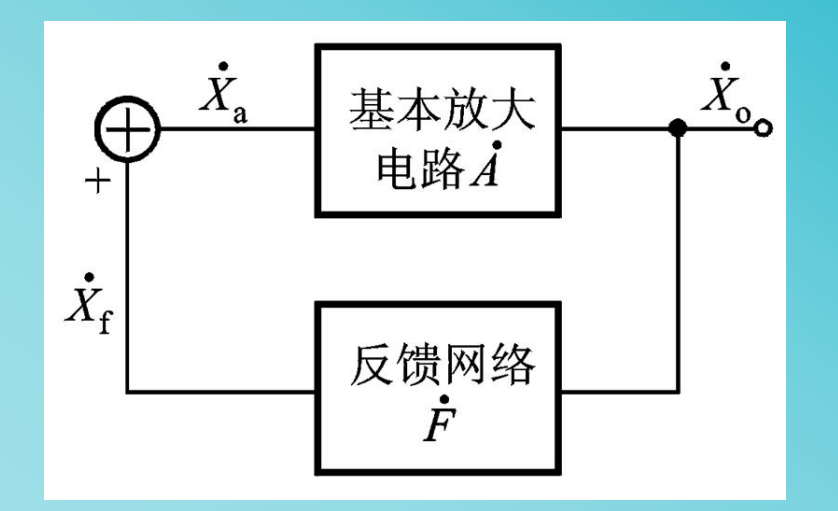


川比医学院生物医学工程

2. 起振和稳幅

起振条件

$$\begin{cases} A(\omega) \cdot F(\omega) > 1 \\ \varphi_{a}(\omega) + \varphi_{f}(\omega) = 2n\pi \end{cases}$$



#振荡电路是单口网络,无需输入信号就能起振,起振的信号源来自何处? 电路器件内部噪声以及电源接通扰动

噪声中,满足相位平衡条件的某一频率 ω_0 的噪声信号被放大,成为振荡电路的输出信号。

当输出信号幅值增加到一定程度时,就要限制它继续增加,否则波形将出现失真。

稳幅的作用就是,当输出信号幅值增加到一定程度时,使振幅平衡条件从 AF > 1 回到 AF = 1 。

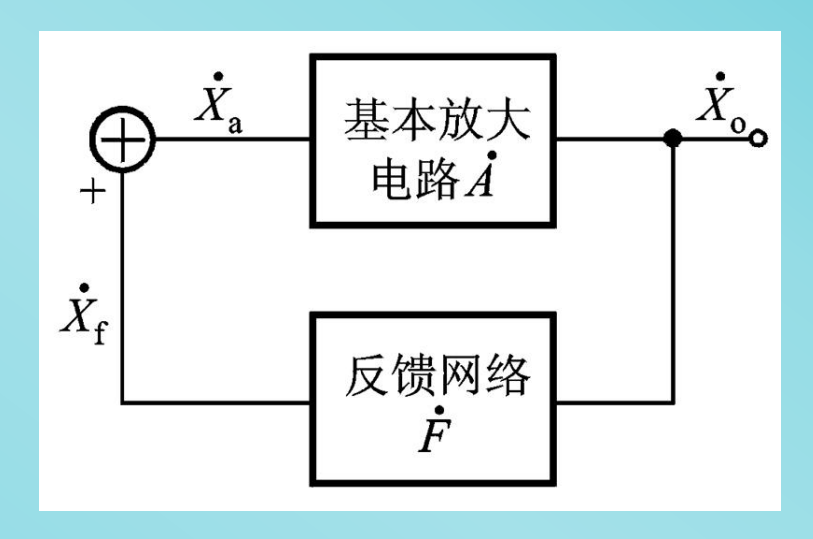
川北医学院生物医学工程

3. 振荡电路基本组成部分

- ▶ 放大电路(包括负反馈放大电路)
- ▶ 反馈网络(构成正反馈的)
- 选频网络(选择满足相位平衡条件的一个频率。经常与反馈

网络合二为一。)

▶稳幅环节



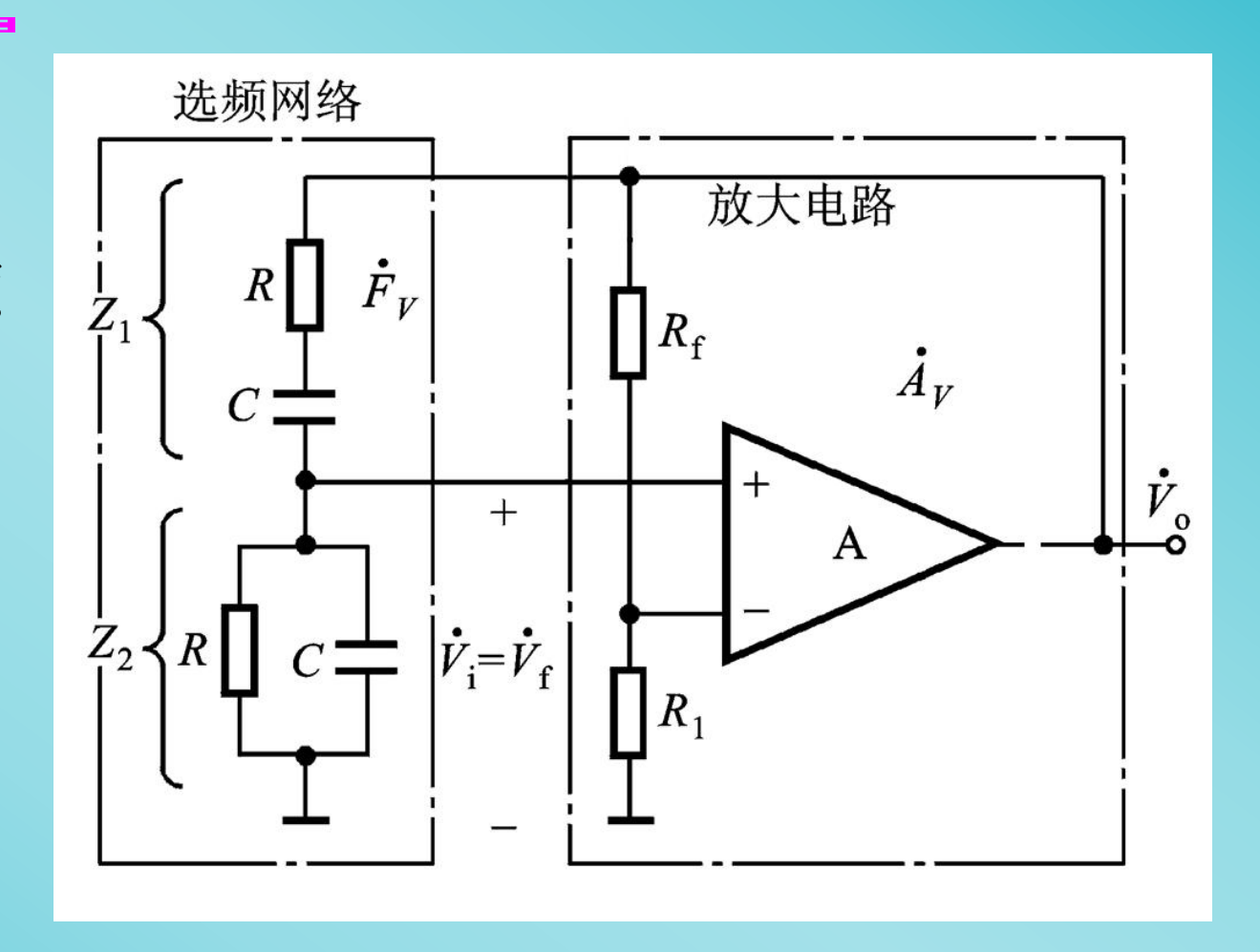
9.6 RC正弦波振荡电路

- 1. 电路组成
- 2. RC串并联选频网络的选频特性
- 3. 振荡电路工作原理
- 4. 稳幅措施

1. 电路组成

RC桥式振荡电路

反馈网络兼做选频 网络

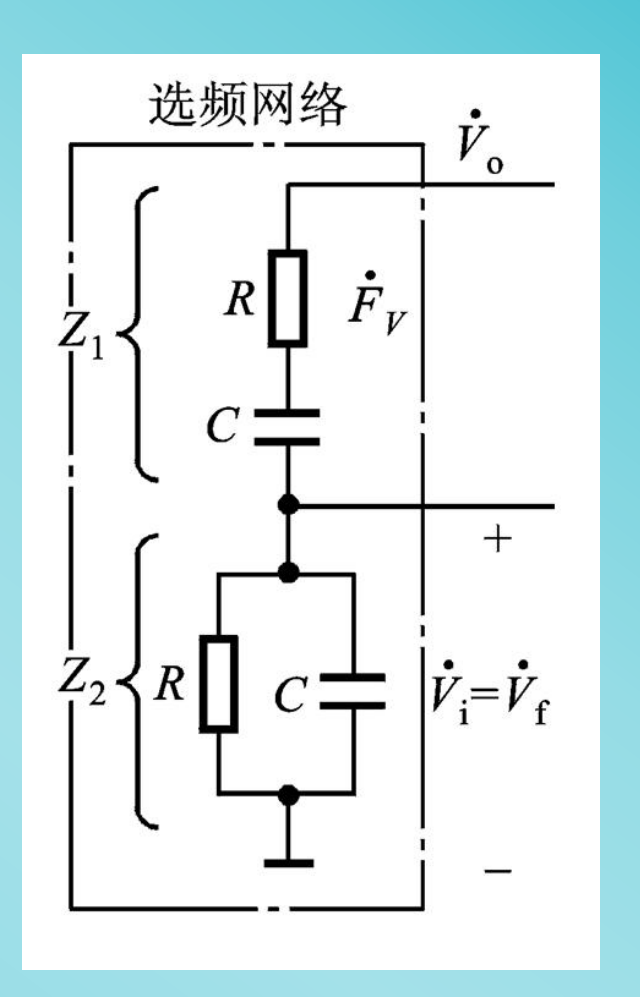


川比医学院生物医学工程

2. RC串并联选频网络的选频特性

反馈系数

$$F_{V}(s) = \frac{V_{f}(s)}{V_{o}(s)} = \frac{Z_{2}}{Z_{1} + Z_{2}} = \frac{sCR}{1 + 3sCR + (sCR)^{2}}$$
又 $s = j\omega$ 且令 $\omega_{0} = \frac{1}{RC}$
则 $\dot{F}_{V} = \frac{1}{3 + j(\frac{\omega}{\omega_{0}} - \frac{\omega_{0}}{\omega})}$
幅频响应 $F_{V} = \frac{1}{\sqrt{3^{2} + (\frac{\omega}{\omega_{0}} - \frac{\omega_{0}}{\omega})^{2}}}$
相频响应 $\varphi_{f} = -\arctan(\frac{(\frac{\omega}{\omega_{0}} - \frac{\omega_{0}}{\omega})}{2})$



川比医学院生物医学工程

2. RC串并联选频网络的选频特性

$$F_{V} = \frac{1}{\sqrt{3^{2} + (\frac{\omega}{\omega_{0}} - \frac{\omega_{0}}{\omega})^{2}}}$$

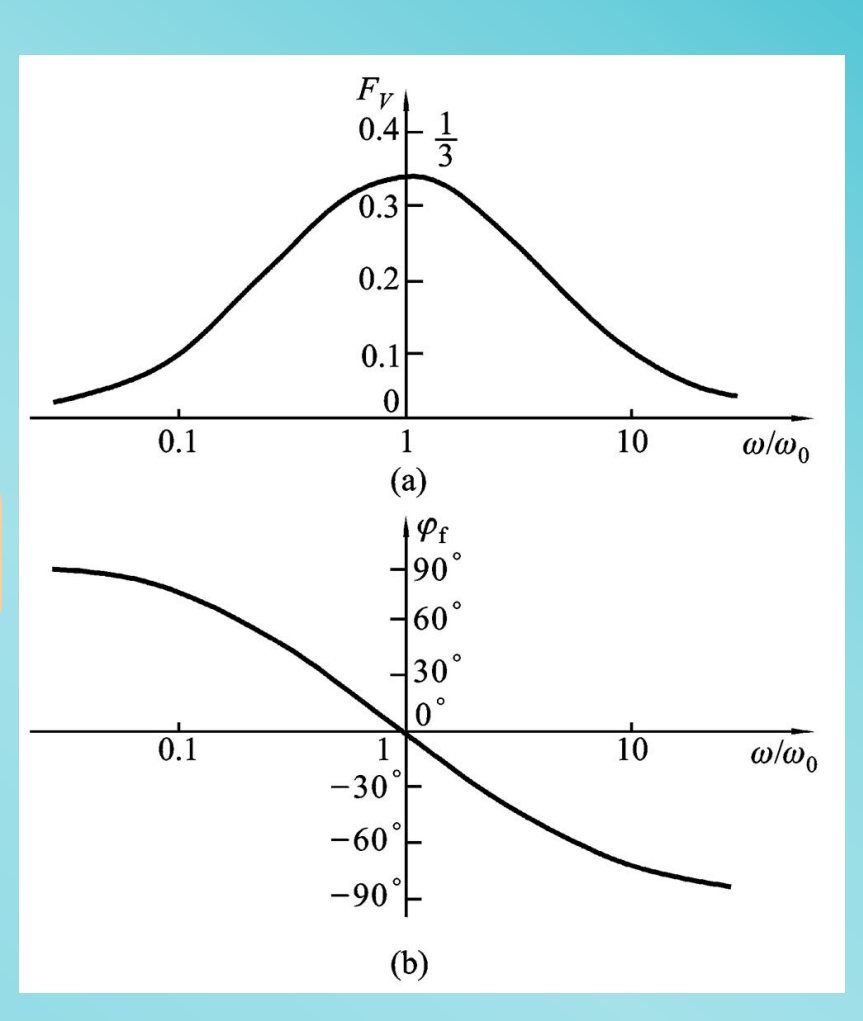
$$\varphi_{\rm f} = -\arctan\frac{(\frac{\omega}{\omega_0} - \frac{\omega_0}{\omega})}{3}$$

当
$$\omega = \omega_0 = \frac{1}{RC}$$
或 $f = f_0 = \frac{1}{2\pi RC}$

幅频响应有最大值

$$F_{V\max} = \frac{1}{3}$$

相频响应 $\varphi_f = 0$



3. 振荡电路工作原理

当
$$\omega = \omega_0 = \frac{1}{RC}$$
 时, $\varphi_f = 0$

用瞬时极性法判断可知,电 路满足相位平衡条件

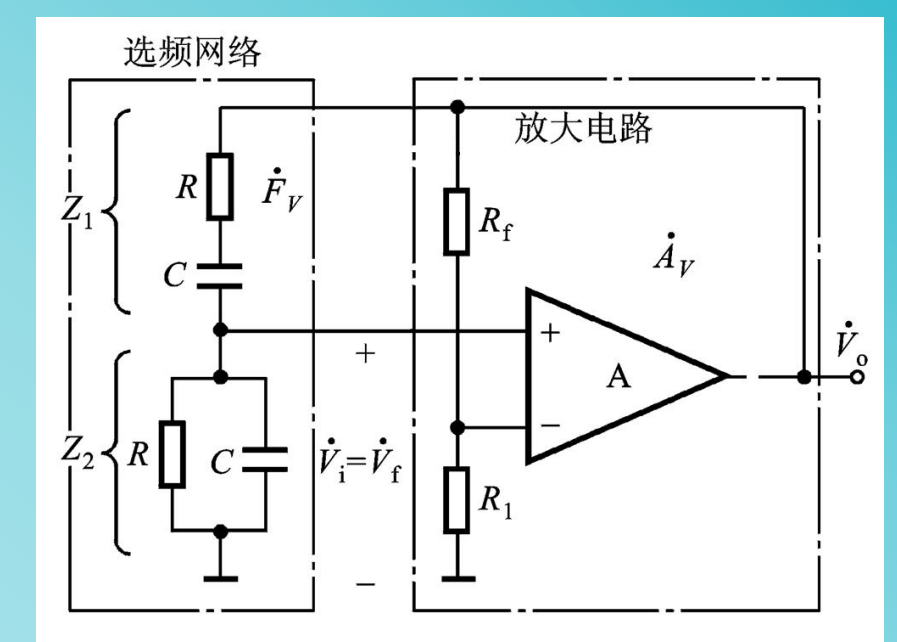
$$\varphi_{\rm a} + \varphi_{\rm f} = 2n\pi$$



则振荡电路满足振幅平衡条件 $A_{\nu}F_{\nu} = 3 \times \frac{1}{3} = 1$

电路可以输出频率为
$$f_0 = \frac{1}{2\pi RC}$$
 的正弦波

RC正弦波振荡电路一般用于产生频率低于1MHz的正弦波



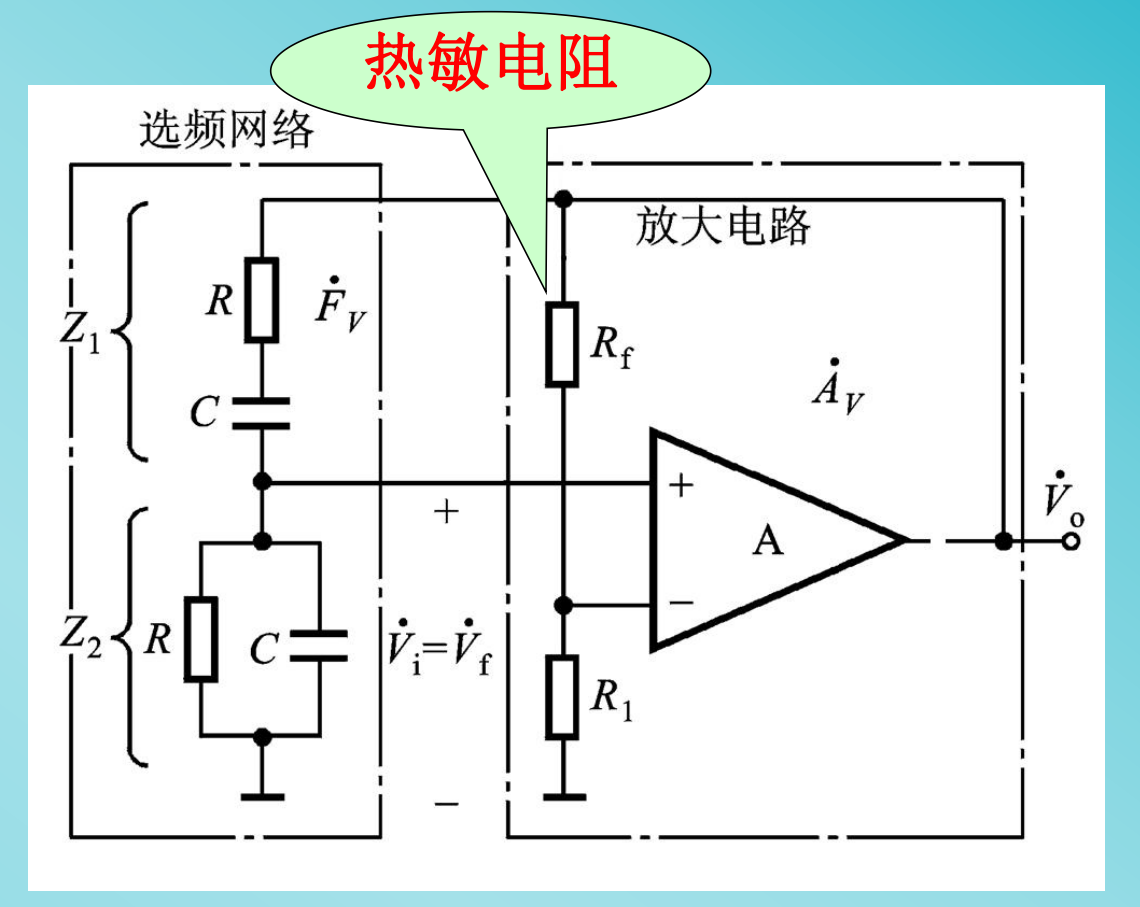
4. 稳幅措施

采用非线性元件

▶热敏元件

起振时,
$$A_V = 1 + \frac{R_f}{R_1} > 3$$
即 $A_V F_V > 1$

热敏电阻的作用



$$|\dot{V}_{o}|$$
 ↑ — $|\dot{I}_{o}|$ ↑ — R_{f} 功耗 ↑ — R_{f} 温度 ↑ — R_{f} 阻值 ↓ —

$$A_{\nu} \downarrow - A_{\nu} = 3 - A_{\nu} F_{\nu} = 1$$
 稳幅

川比医学院生物医学工程

4. 稳幅措施

采用非线性元件

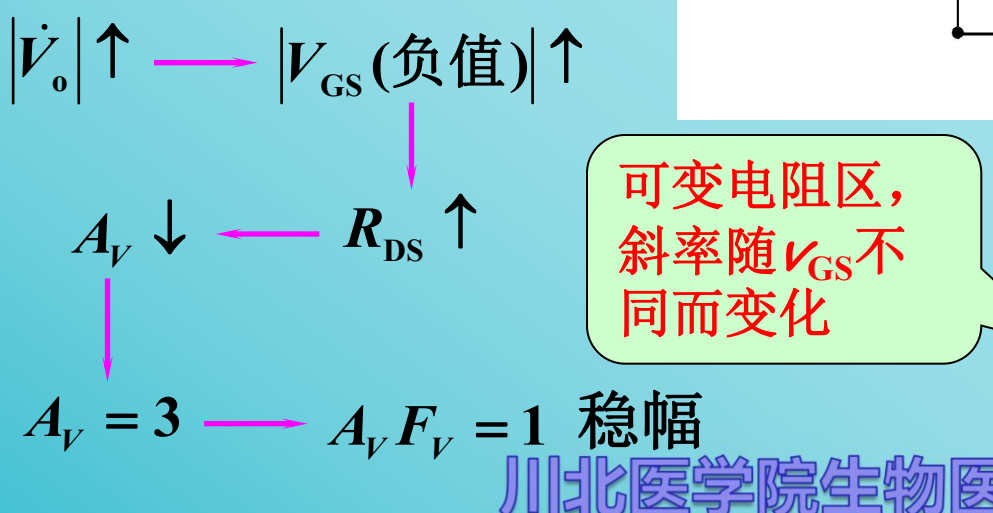
▶ 场效应管(JFET)

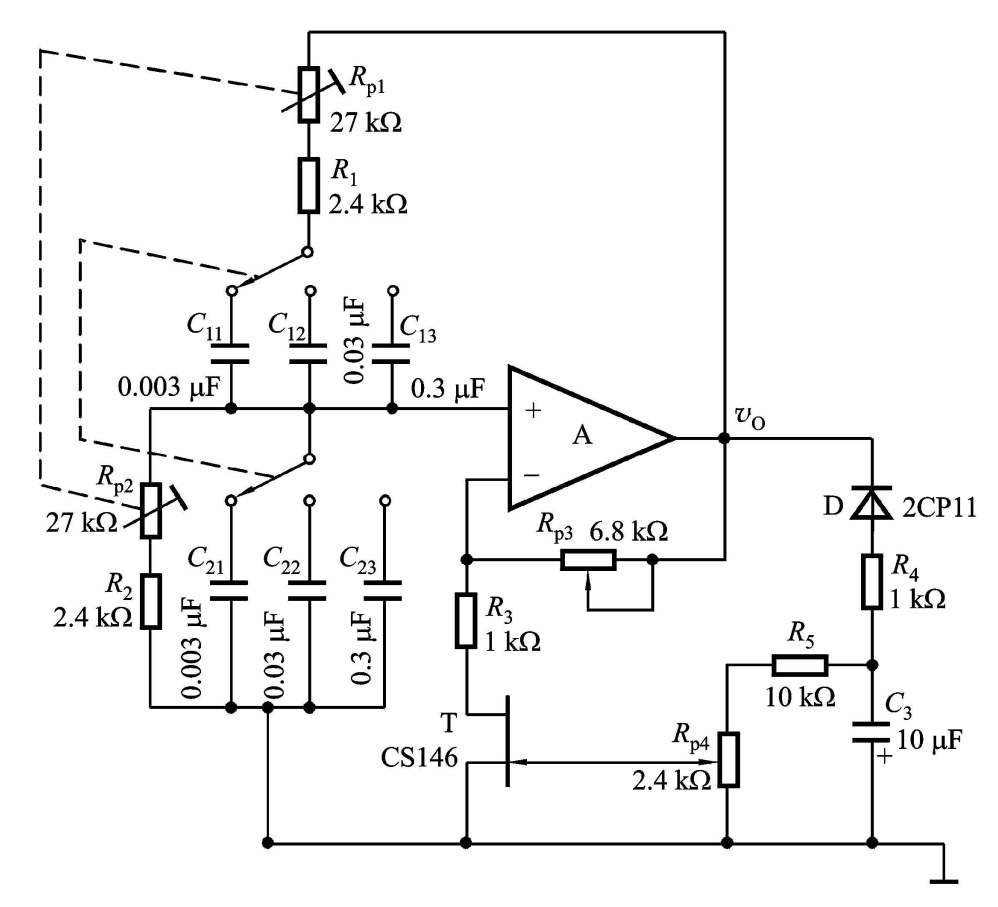
 $D \setminus R_4 \setminus C_3$ 整流滤波

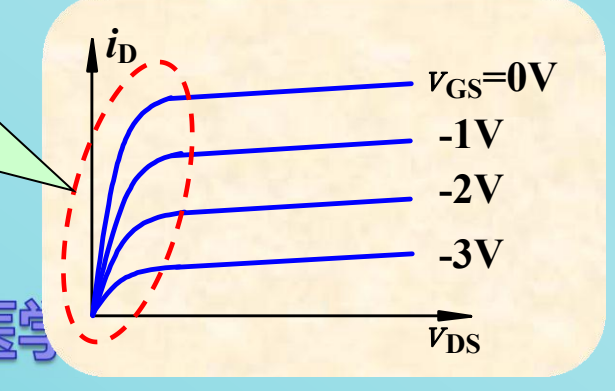
T 压控电阻

$$A_V = 1 + \frac{R_{\rm p3}}{R_3 + R_{\rm DS}} > 3$$

稳幅原理







4. 稳幅措施

采用非线性元件

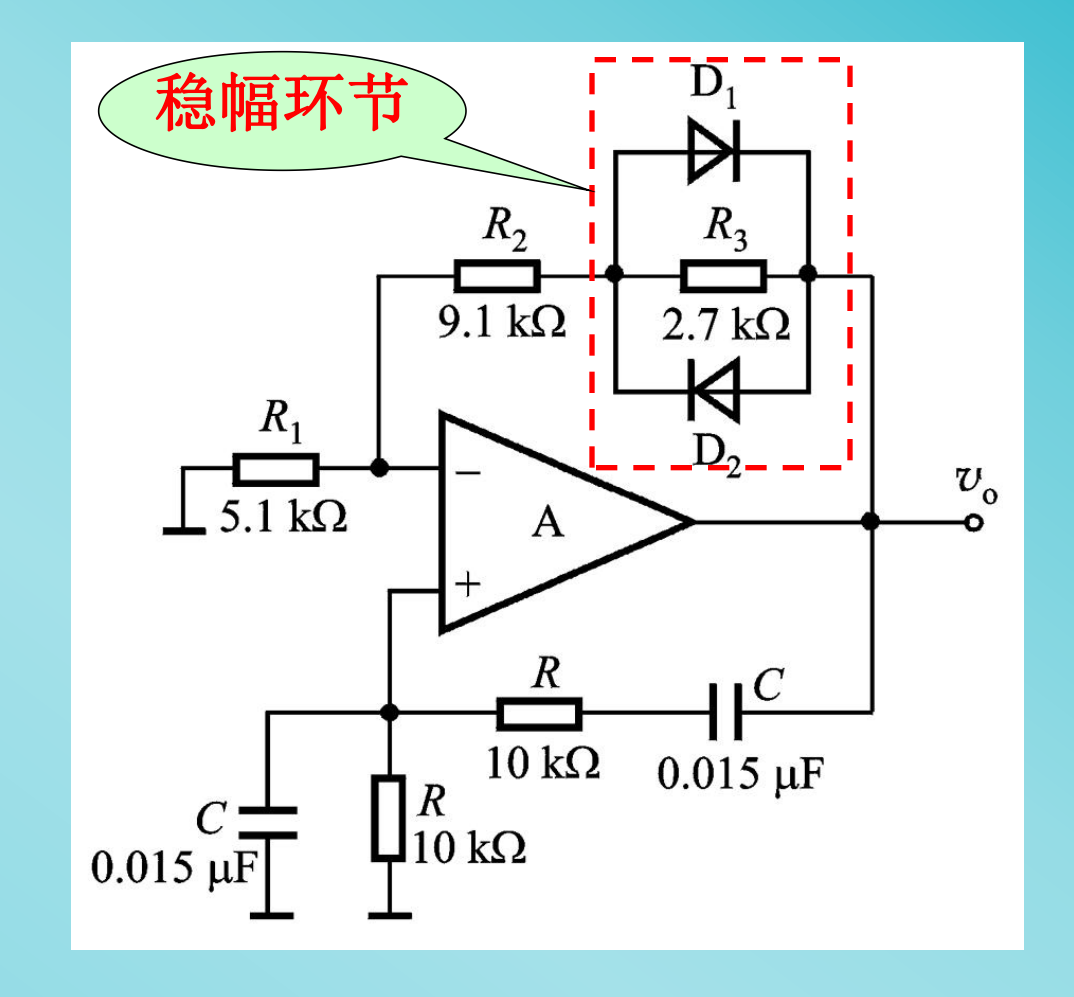
▶二极管

起振时

$$A_V = 1 + \frac{R_2 + R_3'}{R_1} > 3$$

其中 R_3' 是 R_3 、 D_1 和 D_2 并 联支路的等效电阻

稳幅原理



$$|\dot{V}_0| \uparrow - R_3' \downarrow - A_V \downarrow - A_V = 3 - A_V F_V = 1$$
 稳幅

9.7 LC正弦波振荡电路

- 9.7.1 LC选频放大电路
- 9.7.2 变压器反馈式LC振荡电路
- 9.7.3 三点式LC振荡电路
- 9.7.4 石英晶体振荡电路

9.7.1 LC选频放大电路

等效损耗电阻

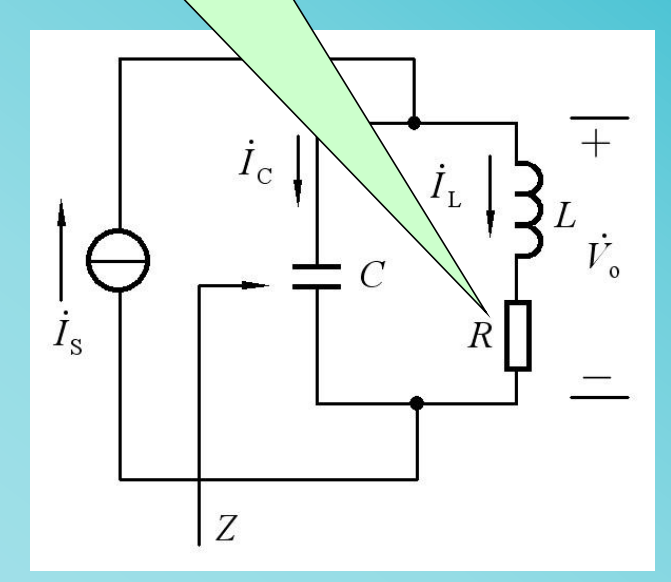
1. 并联谐振回路

$$Z = \frac{\frac{1}{j\omega C}(R + j\omega L)}{\frac{1}{j\omega C} + R + j\omega L}$$

$$-般有 R << \omega L 则$$

$$Z = \frac{\frac{L}{C}}{R + j(\omega L - \frac{1}{\omega C})}$$

$$Z = \frac{\frac{L/C}{R}}{R + j(\omega L - \frac{1}{\omega C})}$$



当
$$\omega = \omega_0 = \frac{1}{\sqrt{LC}}$$
 时, 电路谐振。 $\omega_0 = \frac{1}{\sqrt{LC}}$ 为谐振频率

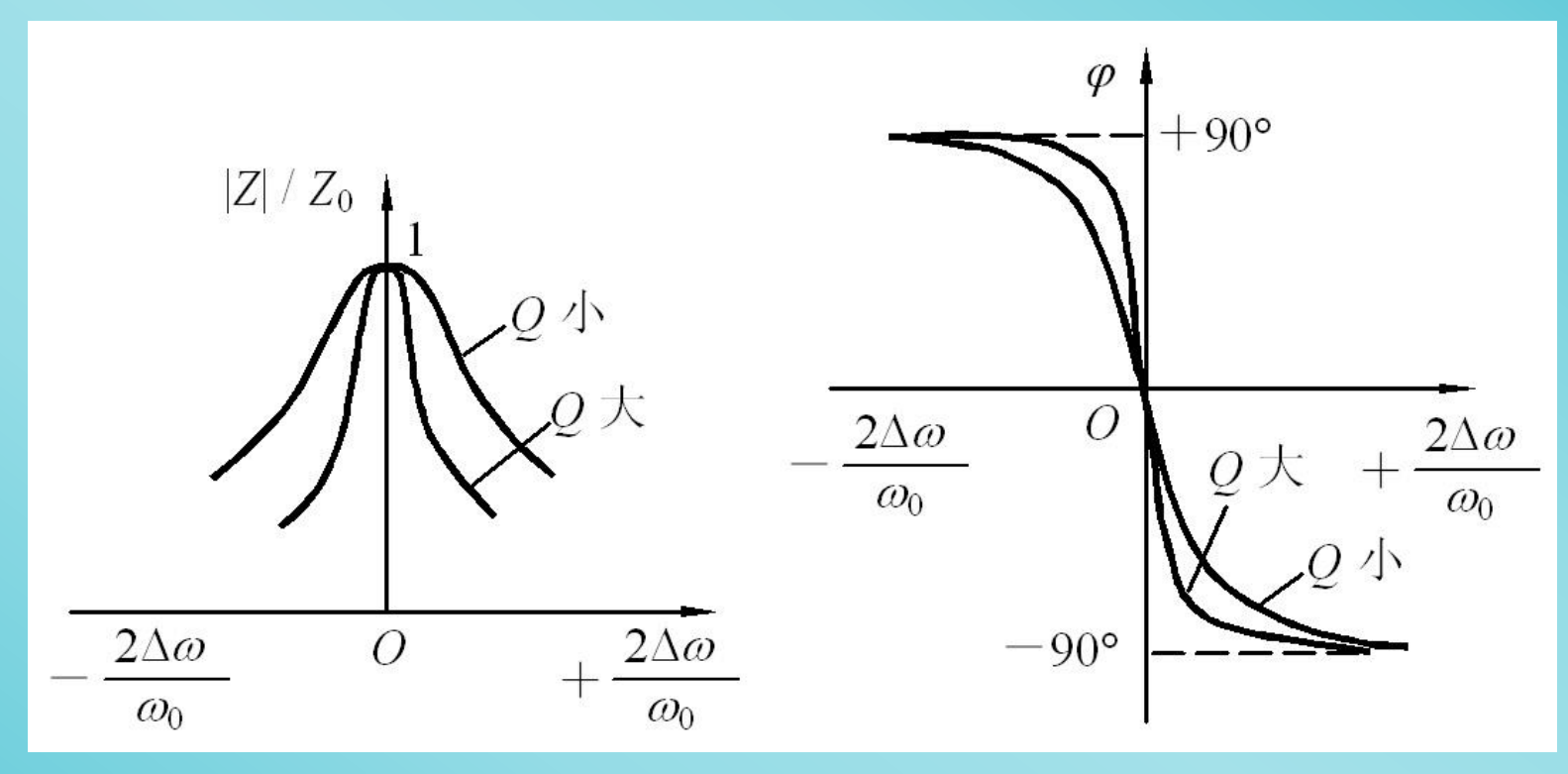
谐振时 阻抗最大,且为纯阻性 $Z_0 = \frac{L}{RC} = Q\omega_0 L = \frac{Q}{\omega_0 C}$

其中
$$Q = \frac{\omega_0 L}{R} = \frac{1}{\omega_0 RC} = \frac{1}{R} \sqrt{\frac{L}{C}}$$
 为品质因数

同时有
$$|\dot{I}_{c}| = Q|\dot{I}$$
 即 $|\dot{I}| \approx |\dot{I}| >> |\dot{I}_{s}|$

9.7.1 LC选频放大电路

阻抗频率响应



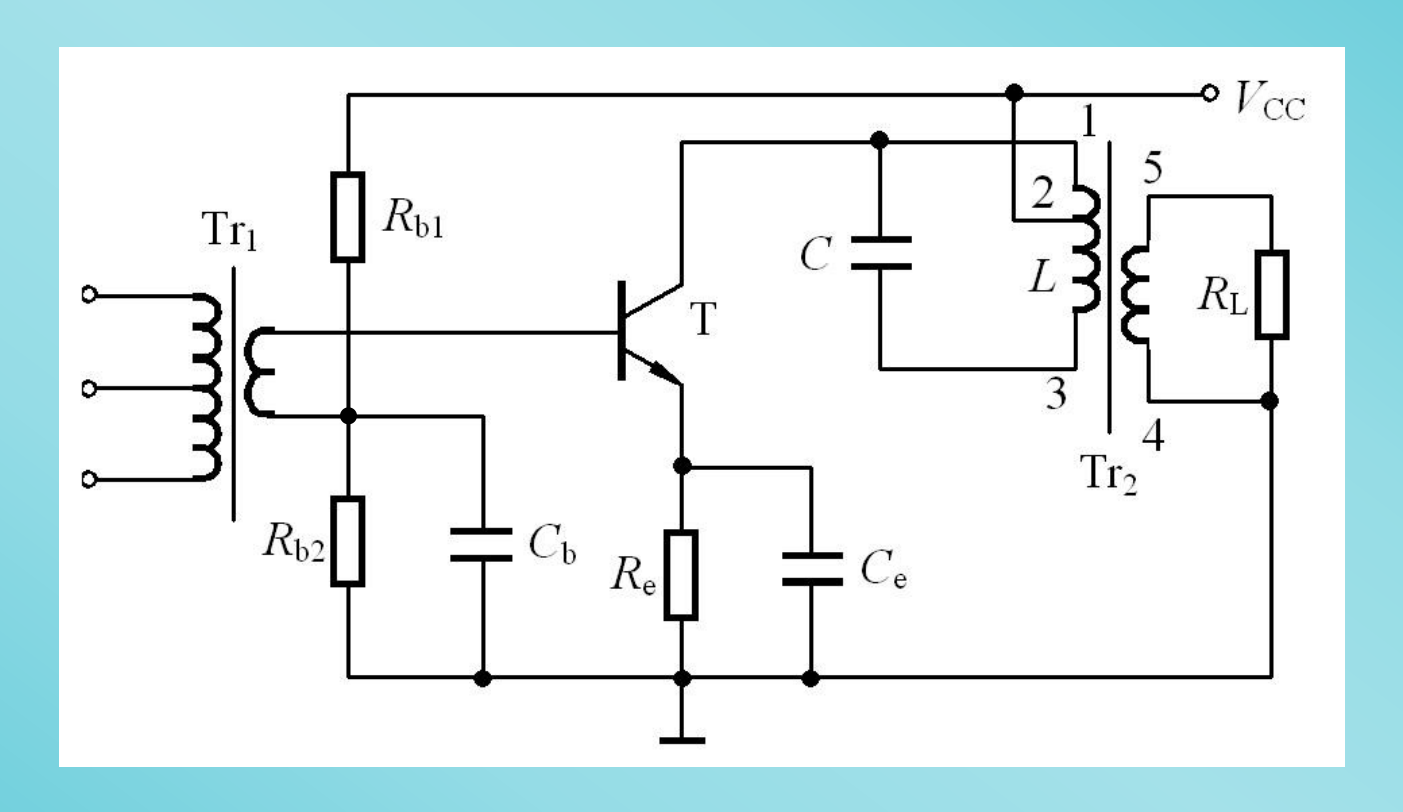
(a) 幅频响应

(b) 相频响应

川北医学院生物医学工程

9.7.1 LC选频放大电路

2. 选频放大电路



1. 频率稳定问题

频率稳定度一般由 $\frac{\Delta f}{f_0}$ 来衡量

Δf ——频率偏移量。

 f_0 ——振荡频率。

Q值越高,选频特性越好,频率越稳定。

LC振荡电路 Q ——数百

石英晶体振荡电路 $Q - 10000 \sim 500000$

2. 石英晶体的基本特性与等效电路

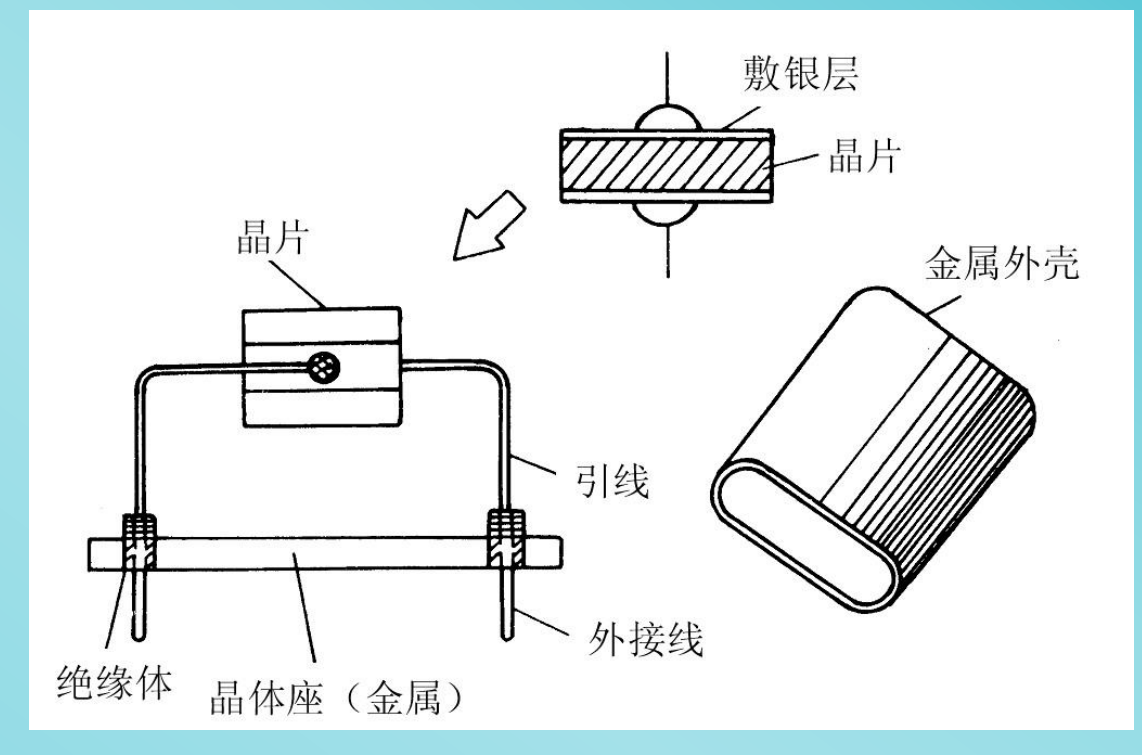
结构 极板间加电场

晶体机械变形

极板间加机械力

晶体产生电场

压电效应



交变电压 → 机械振动 → 交变电压 机械振动的固有频率与晶片尺寸有关,稳定性高

当交变电压频率 = 固有频率时,振幅最大 压电谐振

2. 石英晶体的基本特性与等效电路

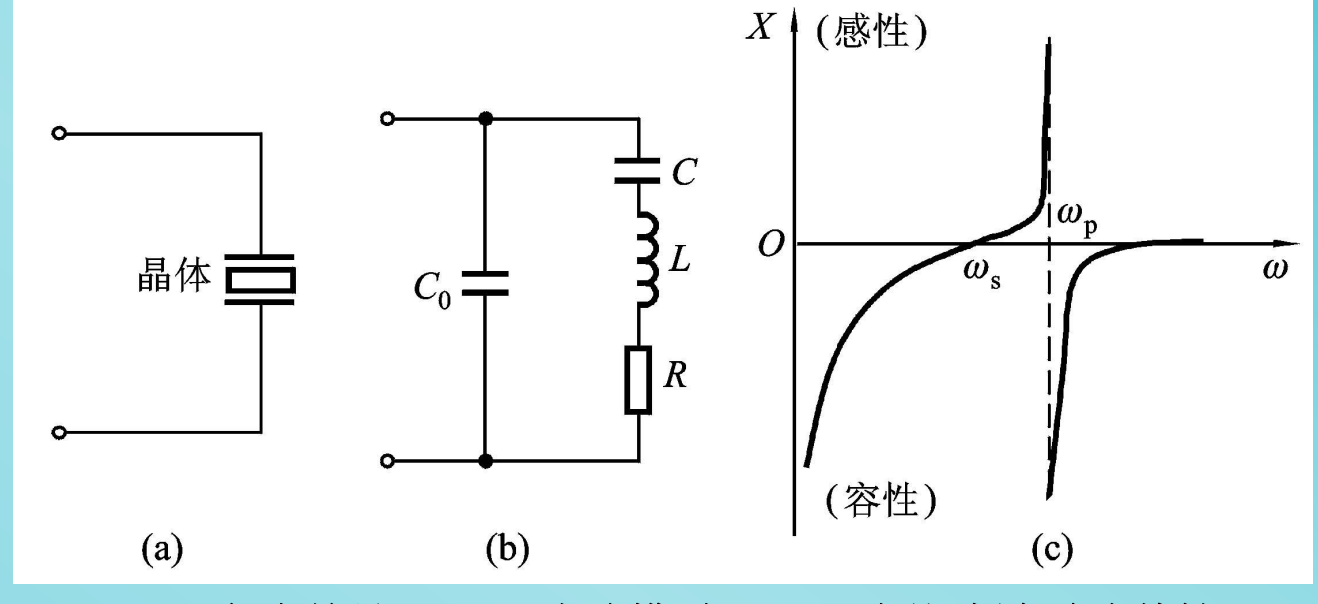
等效电路

特性

A. 串联谐振

$$f_{\rm s} = \frac{1}{2\pi\sqrt{LC}}$$

晶体等效阻 抗为纯阻性



- (a) 代表符号
- (b) 电路模型
- 电抗-频率响应特性

B. 并联谐振
$$f_{\rm p} = \frac{1}{2\pi\sqrt{LC}}\sqrt{1 + \frac{C}{C_0}} = f_{\rm s}\sqrt{1 + \frac{C}{C_0}}$$

通常 $C \ll C_0$ 所以 f_s 与 f_p 很接近

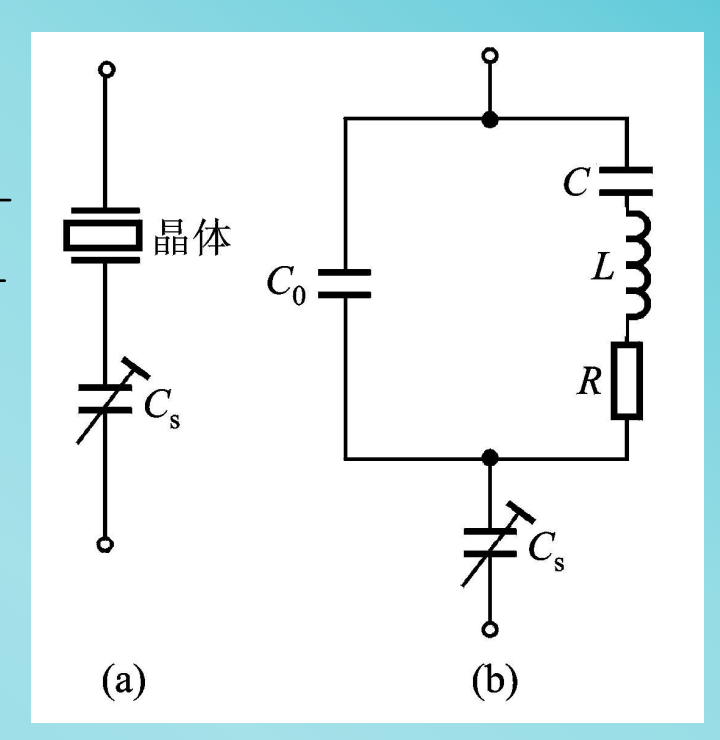
2. 石英晶体的基本特性与等效电路 实际使用时外接一小电容 C_s

则新的谐振频率为

$$f_{s}' = \frac{1}{2\pi\sqrt{LC}}\sqrt{1 + \frac{C}{C_{0} + C_{s}}} = f_{s}\sqrt{1 + \frac{C}{C_{0} + C_{s}}}$$

由于 $C \ll C_0 + C_s$

$$f_s' = f_s \left[1 + \frac{C}{2(C_0 + C_s)} \right]$$



由此看出 $C_s \to 0$ 时, $f'_s = f_p$; $C_s \to \infty$ 时, $f'_s = f_s$

调整 C_s 可使 f'_s 在 f_s 和 f_p 之间变化

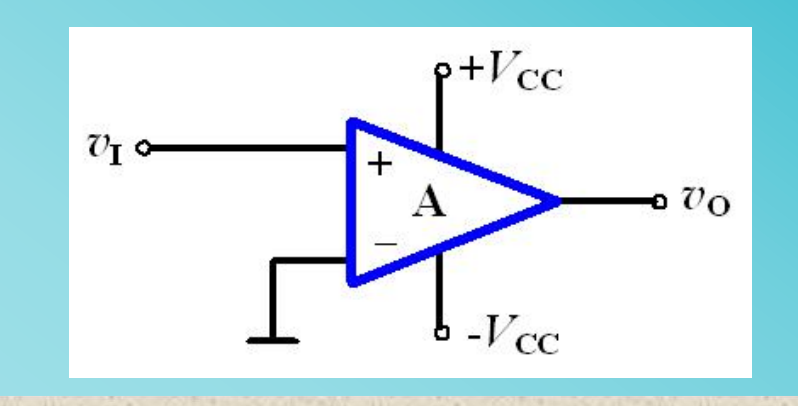
9.8 非正弦信号产生电路

- 9.8.1 电压比较器单门限电压比较器迟滞比较器集成电压比较器
- 9.8.2 方波产生电路
- 9.8.3 锯齿波产生电路

1. 单门限电压比较器

特点: 开环, 虚短不成立 增益 A_0 大于 10^5

$$-V_{\rm CC} \leqslant \nu_{\rm O} \leqslant +V_{\rm CC}$$



运算放大器工作在非线性状态下

(1) 过零比较器 (假设 $|-V_{CC}| = |+V_{CC}| = V_{M}$)

$$\left|V_{\rm I}\right| \ge \frac{V_{\rm M}}{A_0}$$
 时, $\left|V_{\rm O}\right| = \left|A_0V_{\rm I}\right| > V_{\rm M}$,由于 $\left|V_{\rm O}\right|$ 不可能超过 $V_{\rm M}$,所以 $\left|V_{\rm Omax}\right| = V_{\rm M}$ (忽略了放大器输出级的饱和压降)

当 |+
$$V_{\text{CC}}$$
| = |- V_{CC} | = V_{M} =15 V , A_0 =10 5 时, $\frac{V_{\text{M}}}{A_0}$ = $\frac{15}{10^5}$ V =0.15 m V \approx 0

可以认为
$$\begin{cases} \nu_{\rm I} > 0$$
 时, $\nu_{\rm Omax} = +V_{\rm CC} \\ \nu_{\rm I} < 0$ 时, $\nu_{\rm Omax} = -V_{\rm CC} \end{cases}$ (过零比较器)

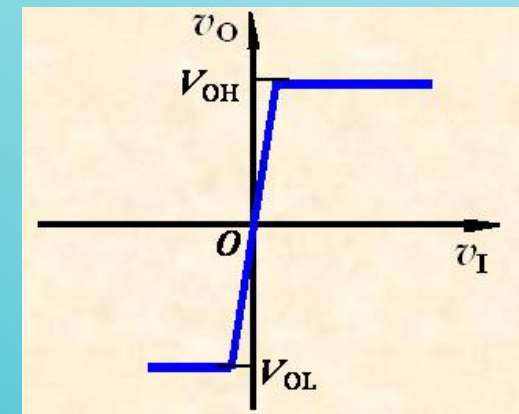
1. 单门限电压比较器

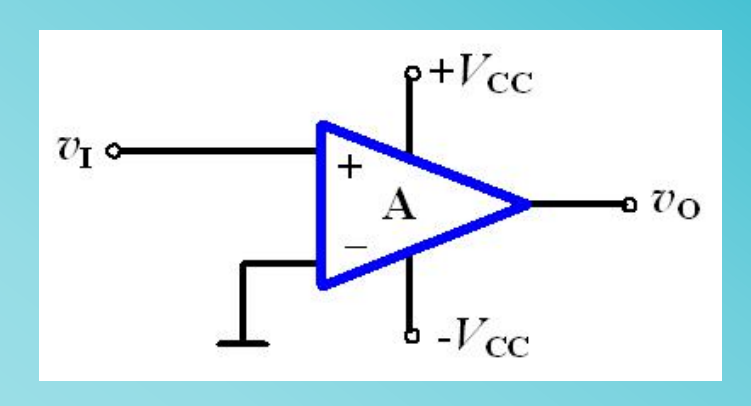
特点: 开环, 虚短不成立 增益*A*₀大于10⁵

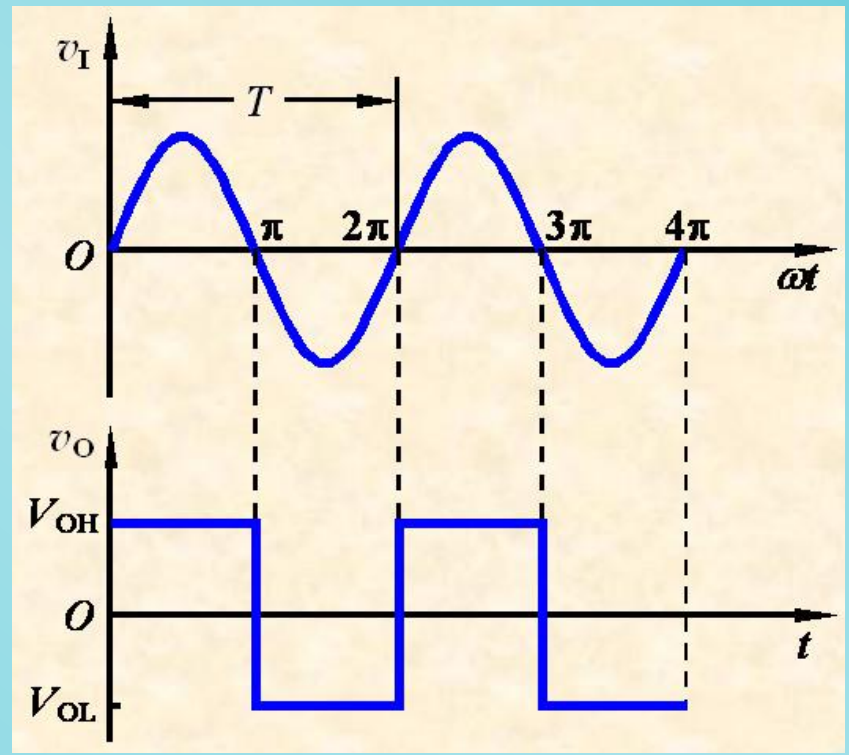
$$-V_{\rm CC} \leqslant \nu_{\rm O} \leqslant +V_{\rm CC}$$

(1) 过零比较器 输入为正负对称的正弦 波时,输出为方波。

电压传输特性





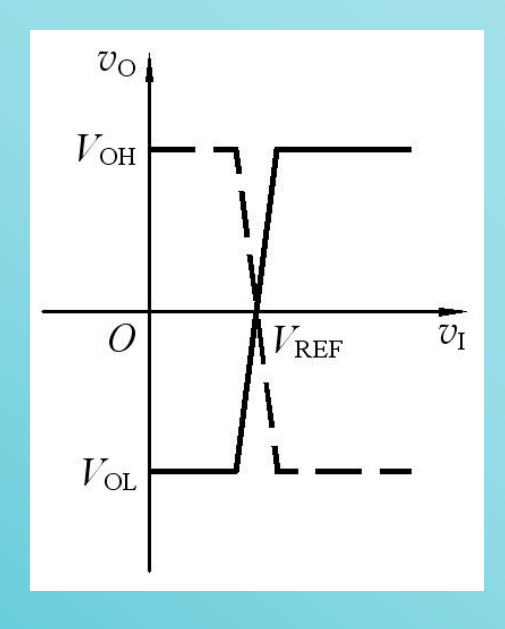


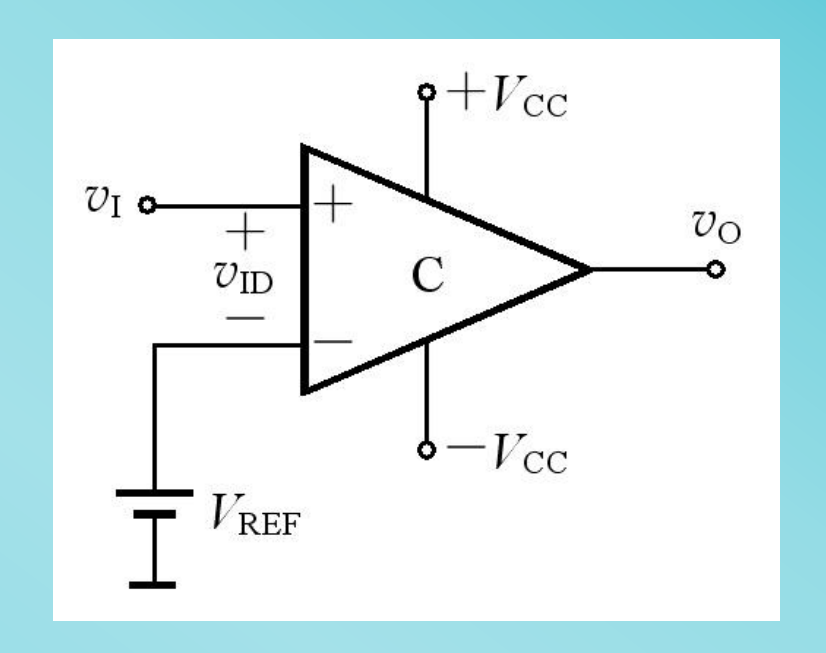
建物医学工程

1. 单门限电压比较器

(2) 门限电压不为零的比较器 (门限电压为 V_{REF})

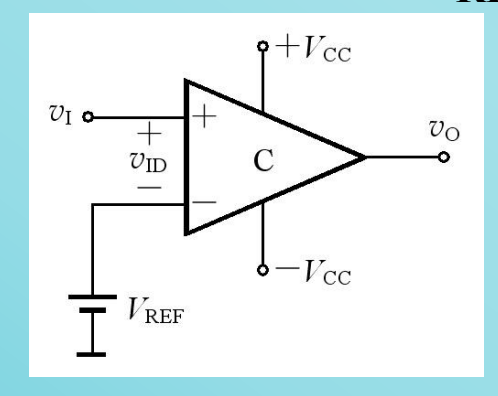
电压传输特性





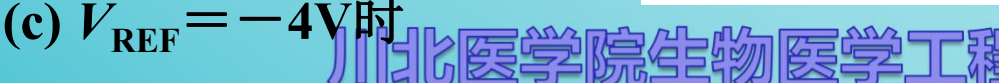
1. 单门限电压比较器

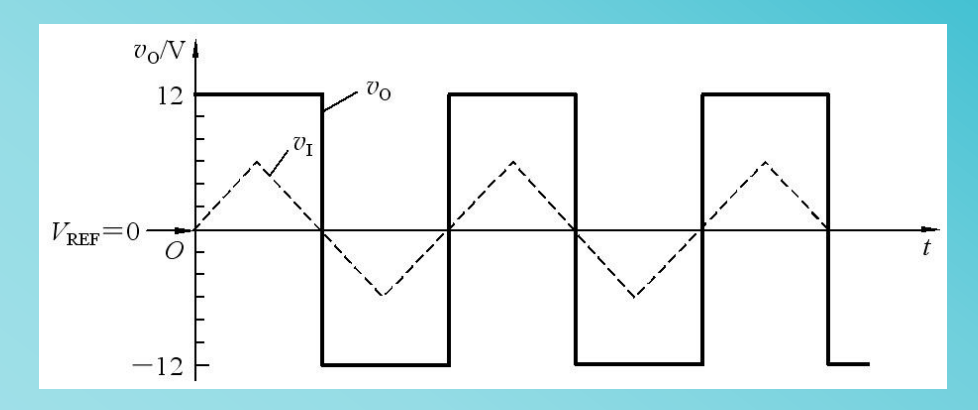
(2) 门限电压不为零的比较器 (门限电压为 V_{REF})

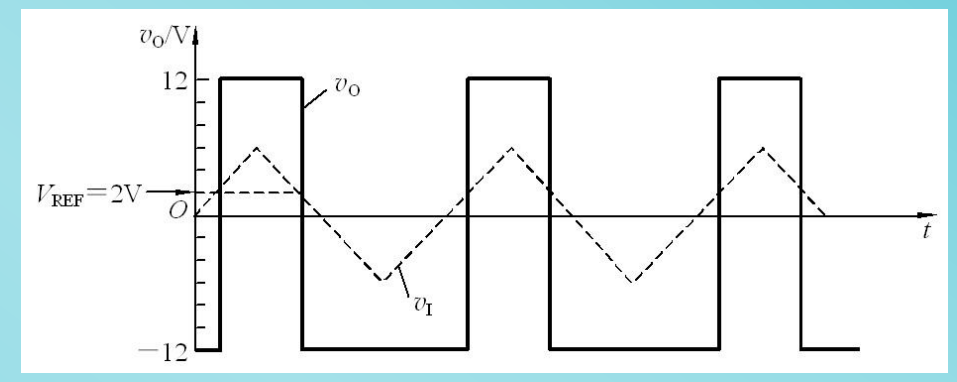


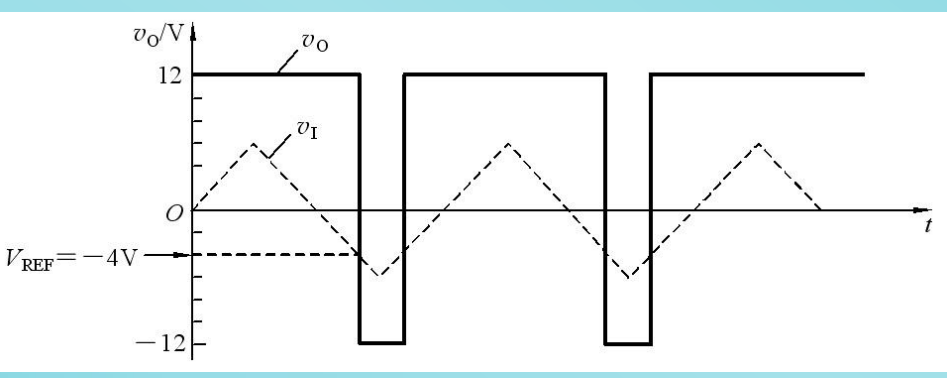
 ν_{l} 为峰值6V的三角波,设 $\pm V_{CC} = \pm 12V$,运放为理想器件。

- (a) $V_{\text{REF}} = 0$ 时
- (b) V_{REF}=2V时









例

图示为另一种形式的单门限电压比较器,试求出其门限电压(阈值电压) $V_{\rm T}$,画出其电压传输特性。设运放输出的高、低电平分别为 $V_{\rm OH}$ 和 $V_{\rm OL}$ 。

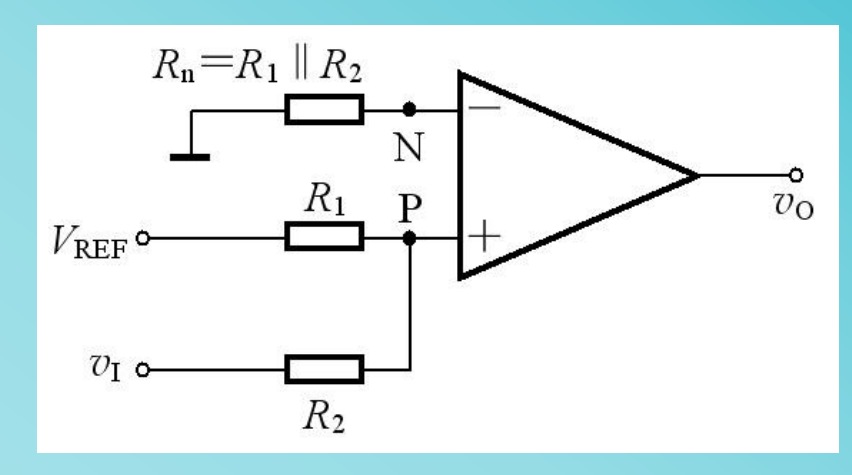
解: 利用叠加定理可得

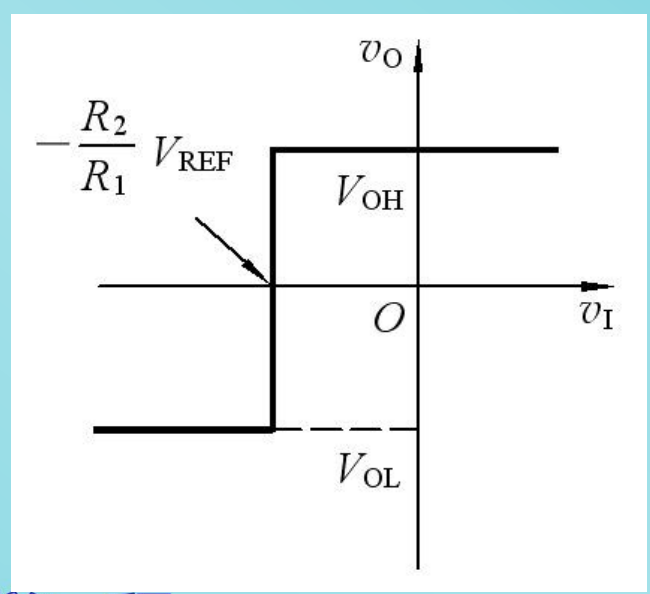
$$V_{\rm P} = \frac{R_2}{R_1 + R_2} V_{\rm REF} + \frac{R_1}{R_1 + R_2} V_{\rm I}$$

理想情况下,输出电压发生跳变时对应的 $\nu_{P}=\nu_{N}=0$,即

$$R_2 V_{\text{REF}} + R_1 V_{\text{I}} = 0$$

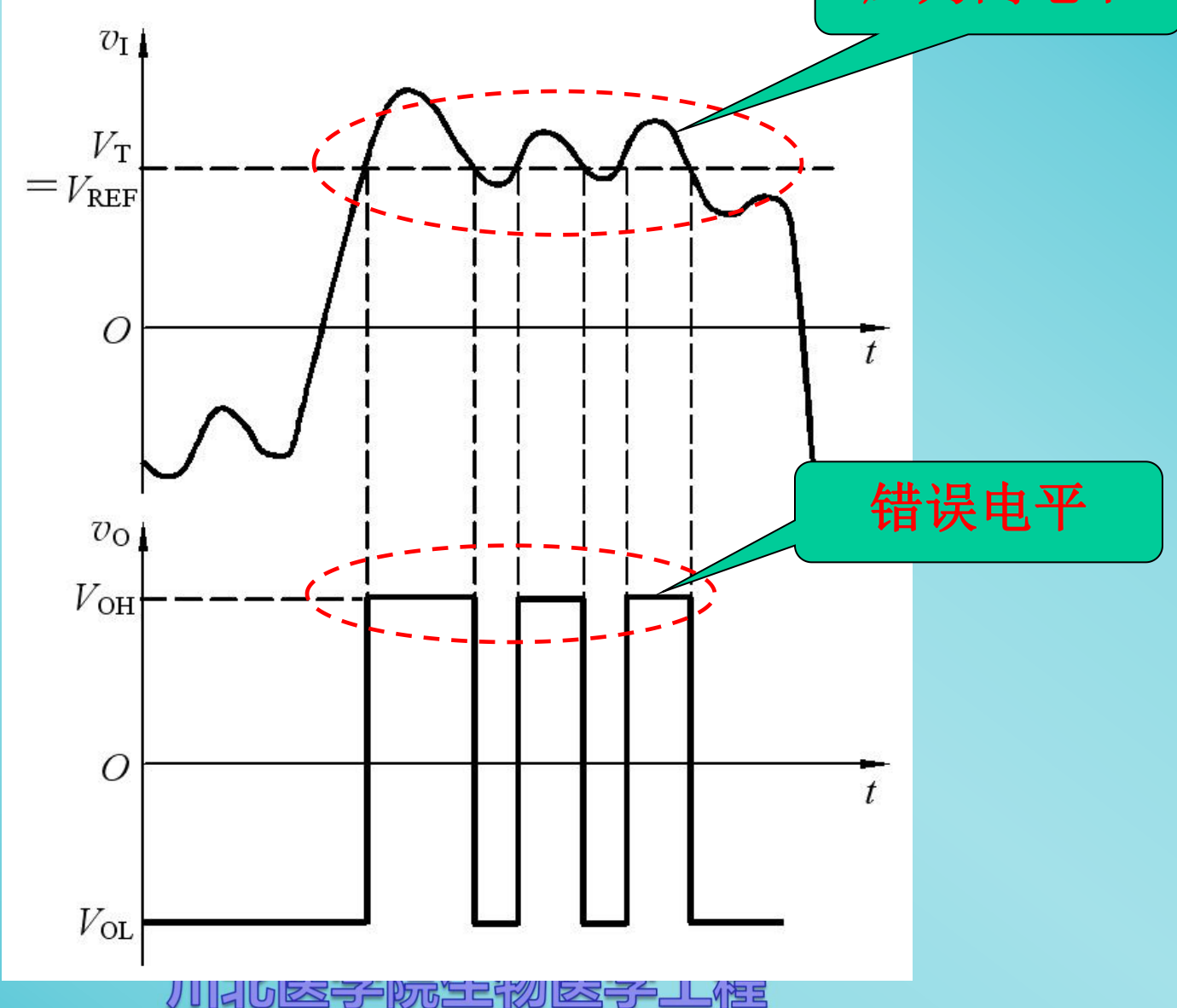
门限电压
$$V_{\rm T} = (V_{\rm I} =) - \frac{R_2}{R_1} V_{\rm REF}$$





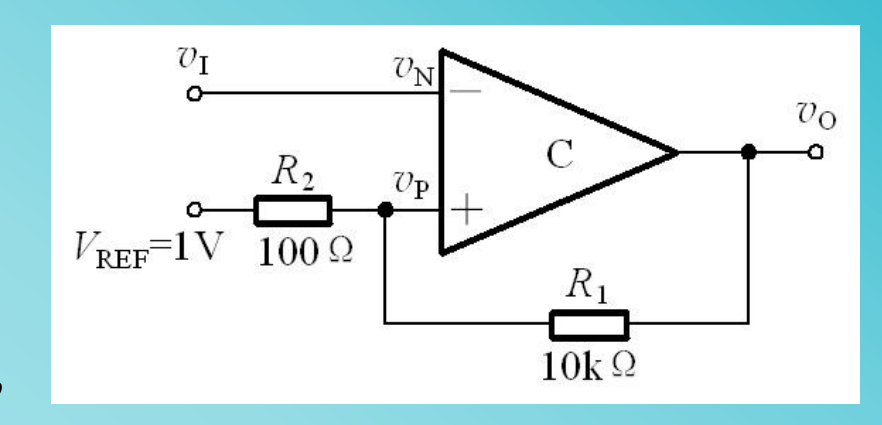
单门限比较器的抗干扰能力

应为高电平



2. 迟滞比较器

- (1) 电路组成
- (2) 门限电压 v_p 为门限电压,

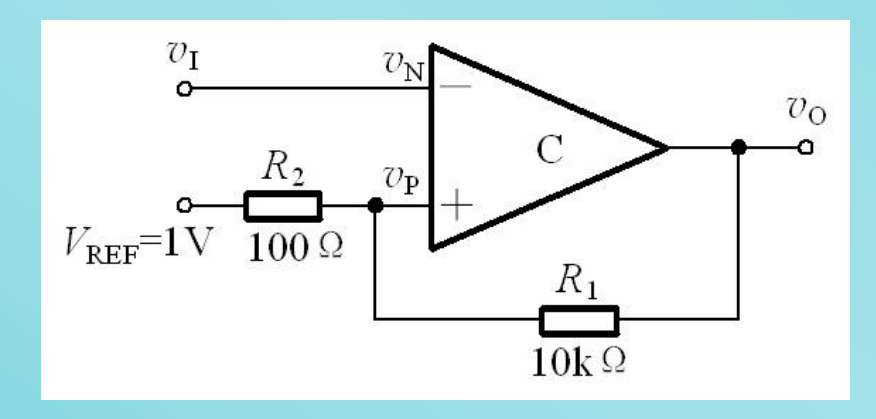


$$v_{\rm I} > v_{\rm P}$$
 时, $v_{\rm O} = V_{\rm OL}$ (低电平) $v_{\rm I} < v_{\rm P}$ 时, $v_{\rm O} = V_{\rm OH}$ (高电平)

而 v_p 与 v_o 有关,对应于 v_o 的两个电压值可得 v_p 的两个门限电压

$$\begin{cases} V_{\text{T+}} = \frac{R_1 V_{\text{REF}}}{R_1 + R_2} + \frac{R_2 V_{\text{OH}}}{R_1 + R_2} & \text{上门限电压} \\ V_{\text{T-}} = \frac{R_1 V_{\text{REF}}}{R_1 + R_2} + \frac{R_2 V_{\text{OL}}}{R_1 + R_2} & \text{下门限电压} \end{cases}$$

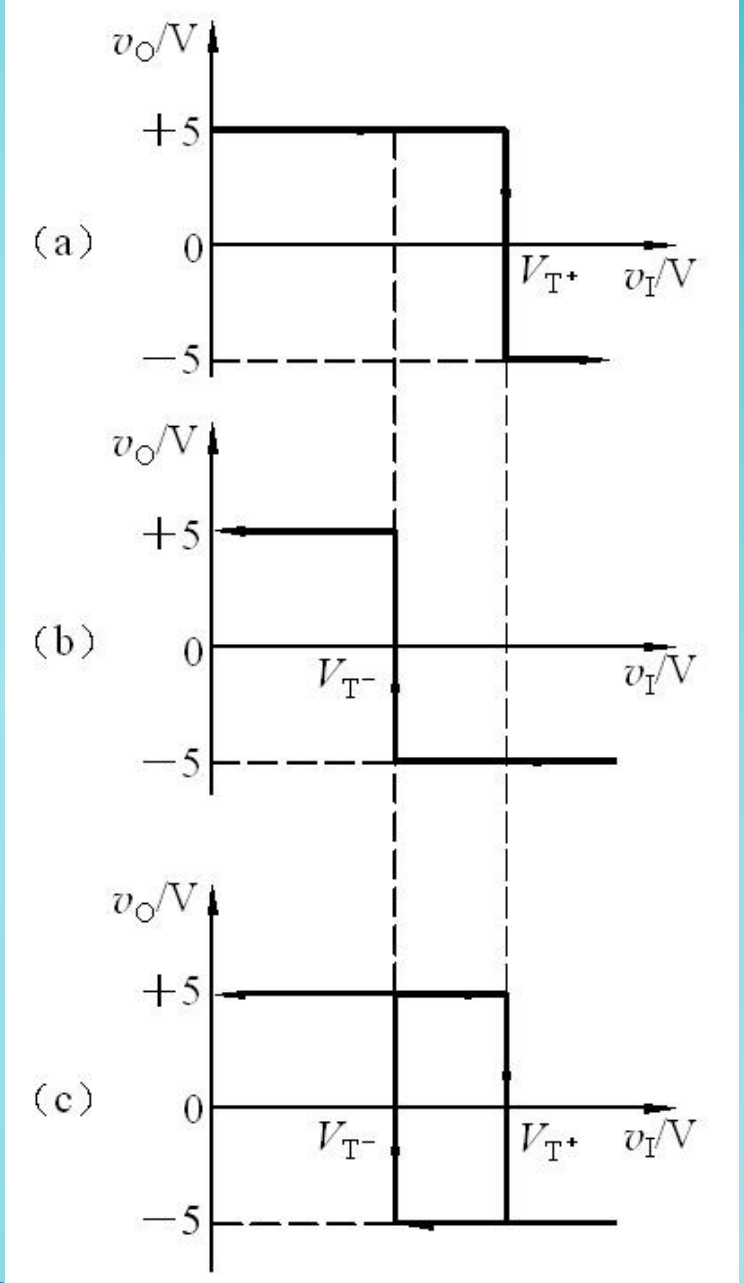
2. 迟滞比较器



(3) 传输特性

$$V_{\text{T+}} = \frac{R_1 V_{\text{REF}}}{R_1 + R_2} + \frac{R_2 V_{\text{OH}}}{R_1 + R_2}$$

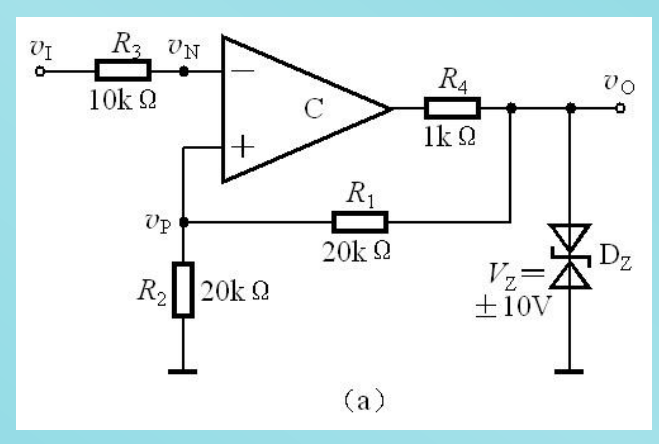
$$V_{\text{T-}} = \frac{R_1 V_{\text{REF}}}{R_1 + R_2} + \frac{R_2 V_{\text{OL}}}{R_1 + R_2}$$

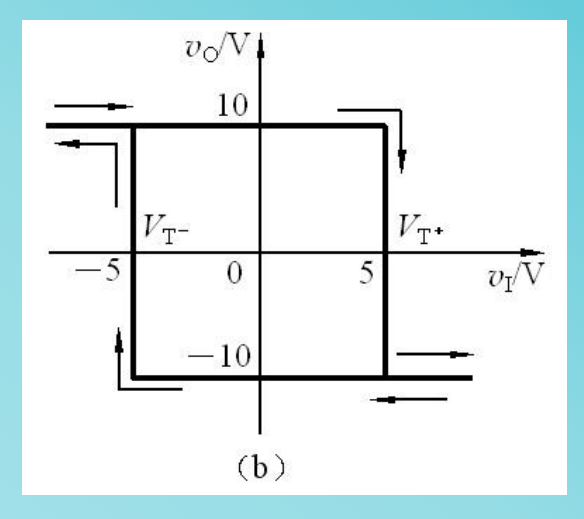


例

电路如图所示,试求门限电压,画出传输特性和图c所示输

入信号下的输出电压波形。





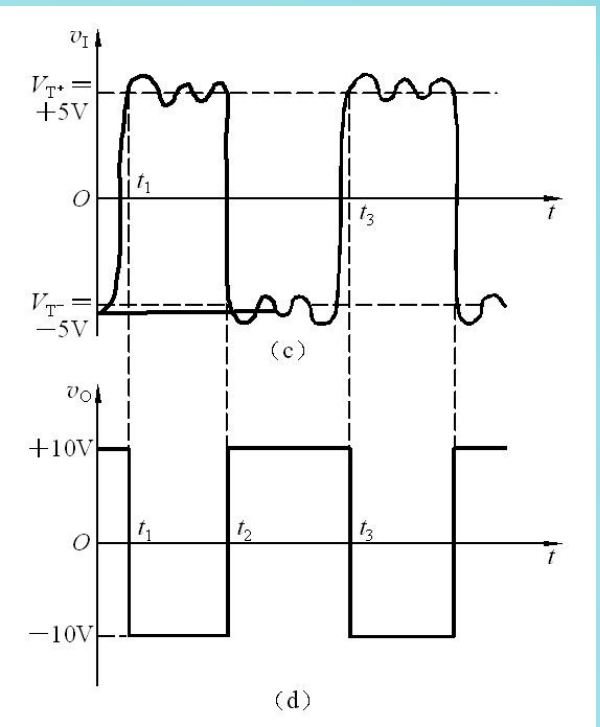
解: (1) 门限电压

$$V_{\text{REF}} = 0$$
 $V_{\text{O}} = \pm 10 \text{V}$

$$V_{\text{T+}} = \frac{R_1 V_{\text{REF}}}{R_1 + R_2} + \frac{R_2 V_{\text{OH}}}{R_1 + R_2} = 5V$$

$$V_{\text{T-}} = \frac{R_1 V_{\text{REF}}}{R_1 + R_2} + \frac{R_2 V_{\text{OL}}}{R_1 + R_2} = -5\text{V}$$

- (2) 传输特性
- (3) 输出电压波形



通过上述几种电压比较器的分析,可得出如下结论:

- (1)用于电压比较器的运放,通常工作在开环或正反馈状态和非线性区,其输出电压只有高电平 V_{OH} 和低电平 V_{OL} 两种情况。
 - (2)一般用电压传输特性来描述输出电压与输入电压的函数 关系。
 - (3) 电压传输特性的关键要素

输出电压的高电平 V_{OH} 和低电平 V_{OL} 门限电压

输出电压的跳变方向

- ▶令 vp= vp所求出的 vj就是门限电压
- > N 等于门限电压时输出电压发生跳变
- ▶跳变方向取决于是同相输入方式还是反相输入方式

3. 集成电压比较器

集成电压比较器与集成运算放大器比较:

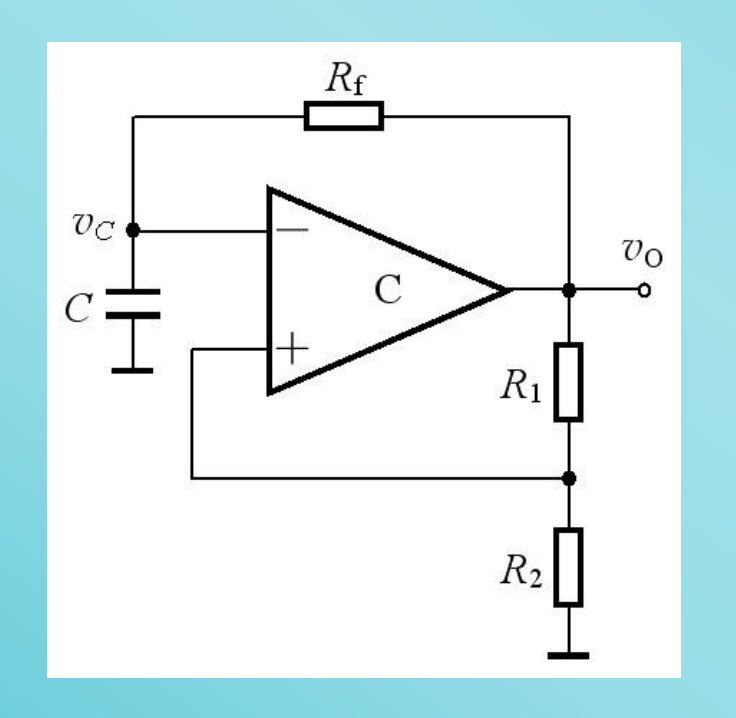
开环增益低、失调电压大、共模抑制比小,灵敏度往往不如 用集成运放构成的比较器高。

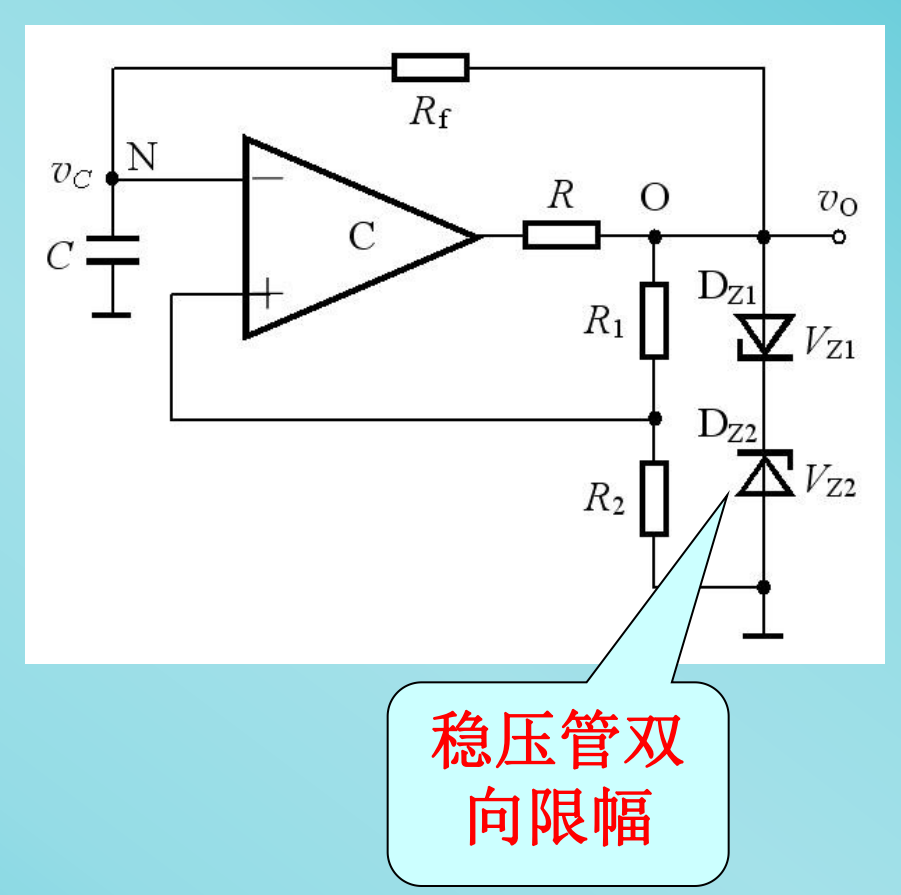
但集成电压比较器中无频率补偿电容,因此转换速率高,改变输出状态的典型响应时间是30~200 ns。

相同条件下741集成运算放大器的响应时间为30 µs左右。

9.8.2 方波产生电路

1. 电路组成(多谐振荡电路)



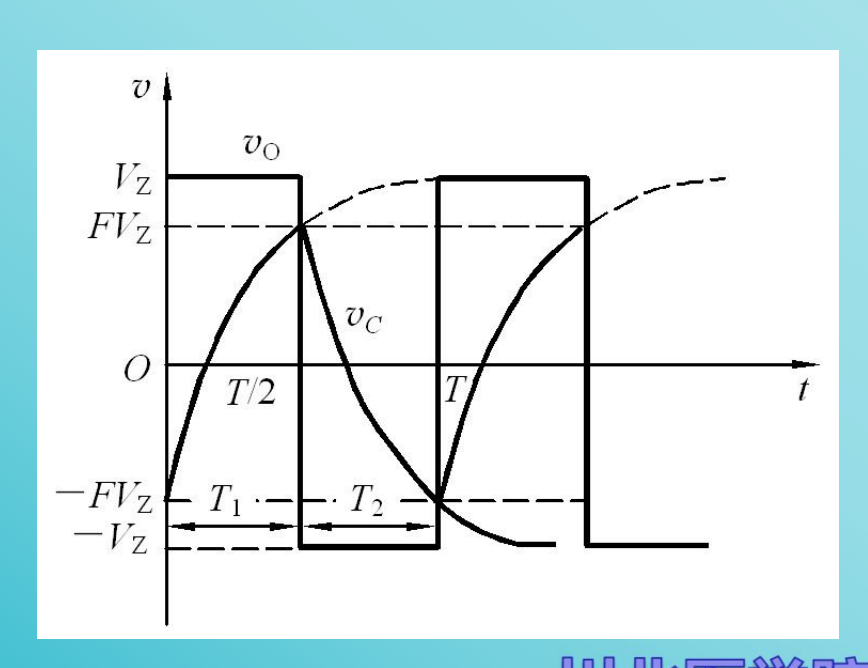


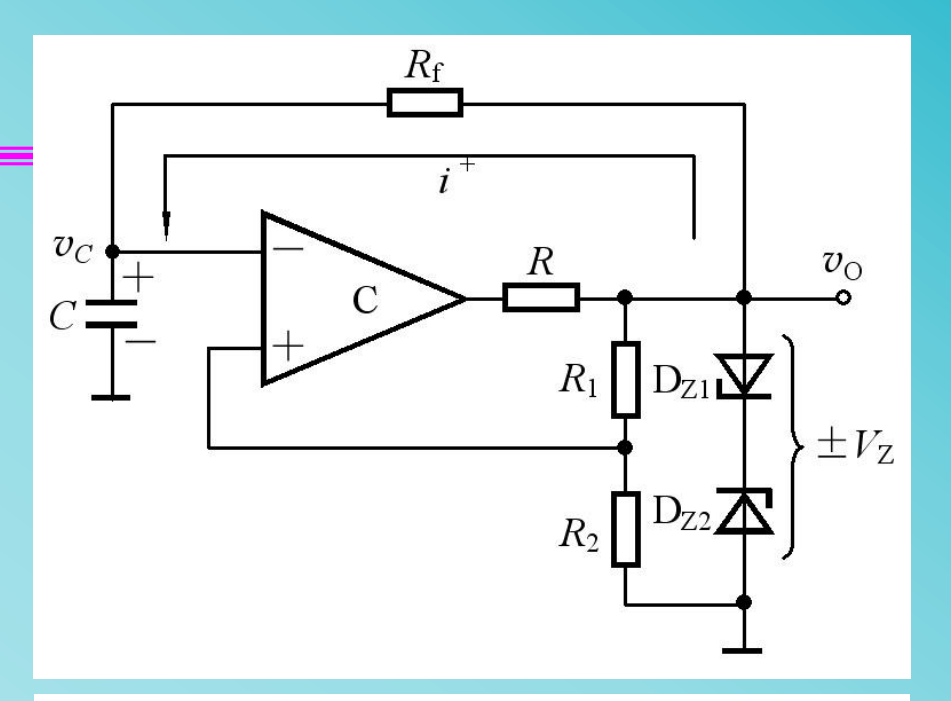
9.8.2 方波产生电路

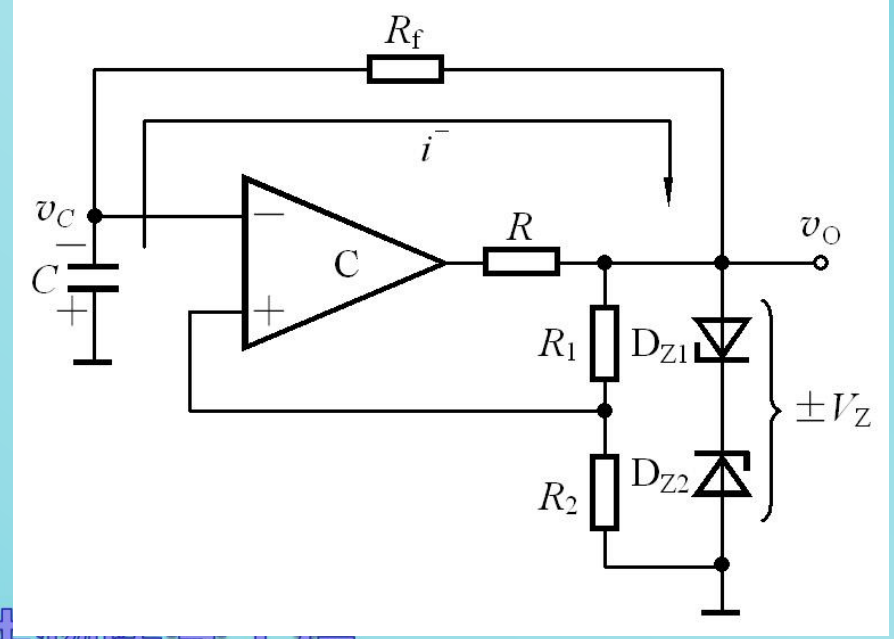
2. 工作原理

由于迟滞比较器中正反馈 的作用,电源接通后瞬间,输 出便进入饱和状态。

假设为正向饱和状态

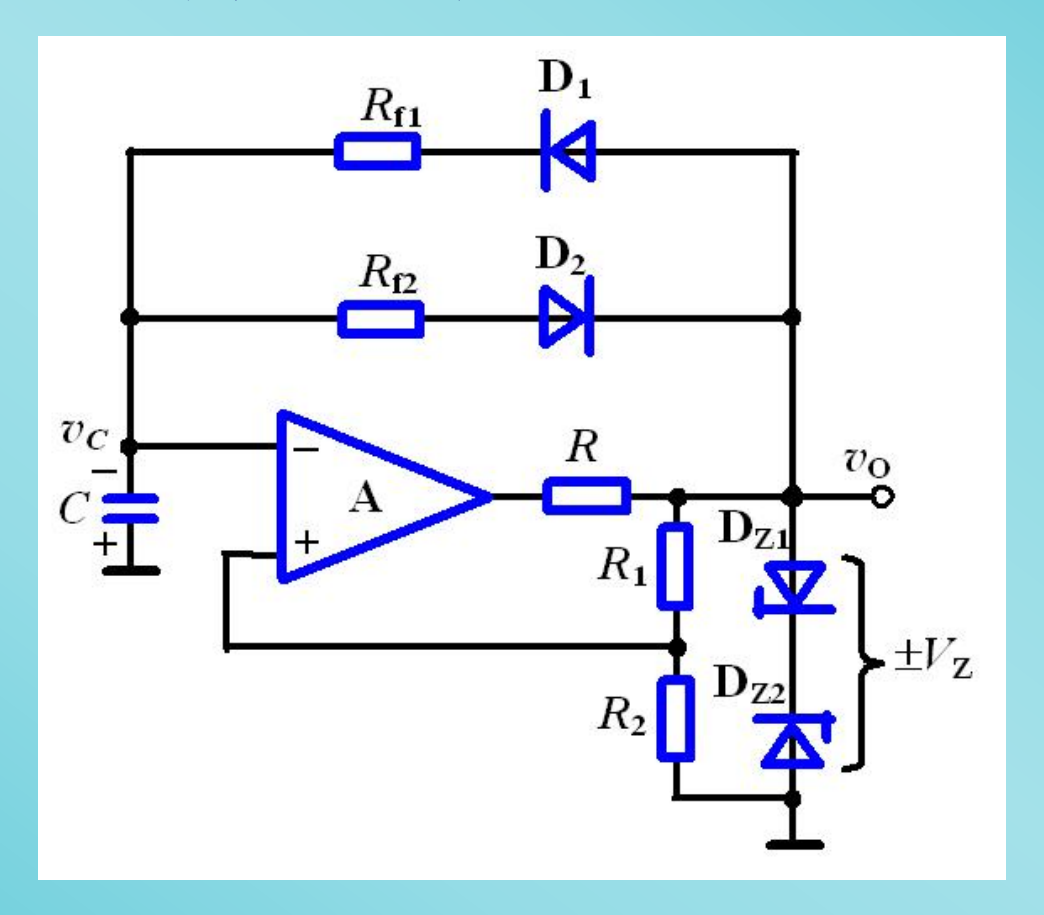






9.8.2 方波产生电路

3. 占空比可变的方波产生电路



9.8.3 锯齿波产生电路

充放电时间 常数不同

end

